



逢甲大學學生報告 ePaper

報告題名：

即時人臉影像偵測系統

Real Time Face Detection System

作者：謝明娟、連珍慧

系級：通訊系 四年甲班

學號：D9156706

開課老師：林立謙 教授

課程名稱：專題研究

開課系所：通訊工程學系 多媒體通訊學程

開課學年：94 學年度 第 1 學期



摘要

本專題研究報告利用人臉邊緣和膚色特徵，找出人臉的位置。

利用 Canny edge detection 找出物體的邊緣，找到一個較正確的人臉邊界。並用 HSI color information detection 的方法找出膚色訊息，為了是判別人臉部分。再結合兩者的結果以找出整張影像中人臉位置。

在不同的環境因素條件下，對其實驗結果做比較。討論其原因所在，並提出設定環境初始值以改善膚色偵測上不足和環境因素的影響，進而提升的整個系統的偵測準確率。

關鍵字：人臉偵測、人臉追蹤、人臉辨識、膚色偵測

目 錄

| | |
|------------------------------|------|
| 摘要 | I |
| 目錄 | II |
| 圖目錄 | V |
| 表目錄 | VIII |
| | |
| 第一章 前言 | 1 |
| 1.1 研究動機 | 1 |
| 1.2 系統架構 | 2 |
| 1.3 實驗設備 | 3 |
| 第二章 人臉辨識之原理及簡介 | 5 |
| 2.1 簡介 | 5 |
| 2.2 人臉辨識方法 | 5 |
| 第三章 邊緣偵測 | 8 |
| 3.1 邊緣偵測的方法 | 8 |
| 3.2 Canny edge detection 演算法 | 12 |
| 3.3 應用於影像處理的形態學 (Morphology) | 16 |

| | |
|-------------------|----|
| 第四章 色彩系統 | 19 |
| 4.1 RGB 色彩系統 | 19 |
| 4.2 YCbCr 色彩系統 | 20 |
| 4.3 HSI 色彩系統 | 22 |
| 第五章 演算法 | 25 |
| 5.1 演算架構 | 25 |
| 5.1.1 程式構思 | 25 |
| 5.1.2 步驟 | 25 |
| 5.2 邊緣偵測 | 27 |
| 5.2.1 程式構思 | 27 |
| 5.2.2 步驟 | 27 |
| 5.3 色彩資訊偵測 | 29 |
| 5.3.1 程式構思 | 29 |
| 5.3.2 步驟 | 29 |
| 5.4 設定不同環境的膚色取樣範圍 | 30 |
| 5.4.1 程式構思 | 30 |
| 5.4.2 步驟 | 31 |

| | |
|----------------------|----|
| 第六章 結果討論及未來方向----- | 32 |
| 6.1 實驗結果----- | 32 |
| 6.2 不同條件下實驗結果比較----- | 34 |
| 6.3 討論----- | 40 |
| 6.4 改善空間----- | 40 |
| 6.5 未來發展----- | 42 |
| 附錄----- | 43 |
| 參考文獻----- | 55 |

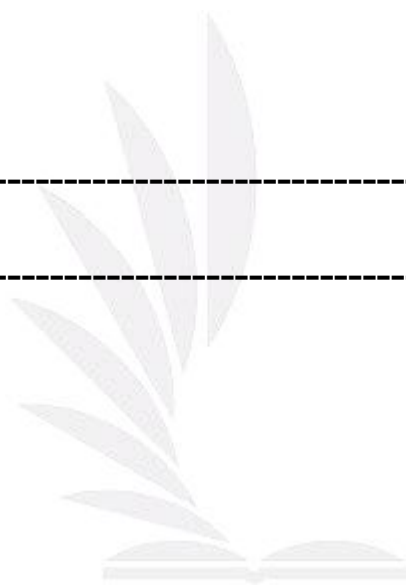


圖 目 錄

| | |
|------------------------------------|---------|
| ▲圖 1.1 系統架構圖 | -----2 |
| ▲圖 1.2 攝影機 | -----3 |
| ▲圖 1.3 DSP 子母卡 | -----4 |
| ▲圖 3.1 灰階影像邊緣示意圖 | -----11 |
| ▲圖 3.2 邊緣經過一階到二階的過程 | -----11 |
| ▲圖 3.3 (a)3x3 mask | -----14 |
| ▲圖 3.3 (b)5x5 mask | -----14 |
| ▲圖 3.4 方向畫分圖 | -----15 |
| ▲圖 3.5 Hysteresis Thresholding 示意圖 | -----15 |
| ▲圖 3.6 (a)原圖 | -----17 |
| ▲圖 3.6 (b)擴散示意圖 | -----17 |
| ▲圖 3.7 (a)原圖 | -----18 |
| ▲圖 3.7 (b)浸蝕示意圖 | -----18 |
| ▲圖 3.8 (a)原圖 | -----18 |
| ▲圖 3.8 (b)斷開示意圖 | -----18 |
| ▲圖 3.9 (a)原圖 | -----18 |
| ▲圖 3.9 (b)閉合示意圖 | -----18 |

| | |
|------------------------|----|
| ▲圖 4.1 RGB 色彩系統座標係 | 20 |
| ▲圖 4.2 | 20 |
| ▲圖 4.3 | 21 |
| ▲圖 4.4 色彩三要素 | 23 |
| ▲圖 4.5 色相環 | 24 |
| ▲圖 4.6 HSI 色彩系統座標係 | 24 |
| ▲圖 5.1 程式架構圖 | 26 |
| ▲圖 5.2 邊緣偵測 | 28 |
| ▲圖 5.3 膚色偵測 | 30 |
| ▲圖 5.4 手動設定點選偵測物體的色彩範圍 | 31 |
| ▲圖 6.1 實驗結果(一) | 33 |
| ▲圖 6.2 實驗結果(二) | 33 |
| ▲圖 6.3 攝影設備(一) | 35 |
| ▲圖 6.4 攝影設備(二) | 35 |
| ▲圖 6.5 頭肩部位 | 36 |
| ▲圖 6.6 半身 | 36 |
| ▲圖 6.7 仰角 | 37 |
| ▲圖 6.8 側面 | 37 |
| ▲圖 6.9 側面 | 38 |

| | |
|------------------|----|
| ▲圖 6.10 背面 | 38 |
| ▲圖 6.11 人臉數數目為複數 | 39 |
| ▲圖 6.12 人臉重疊 | 39 |
| ▲圖 6.13 (a)點選位置一 | 41 |
| ▲圖 6.13 (b)點選位置二 | 41 |



表 目 錄

| | |
|-----------------------|----|
| ▼表 2.1 人臉辨識的問題分類----- | 7 |
| ▼表 2.2 圖像條件----- | 7 |
| ▼表 6.1 不同條件下偵測結果----- | 34 |



第一章 前言

1.1 研究動機

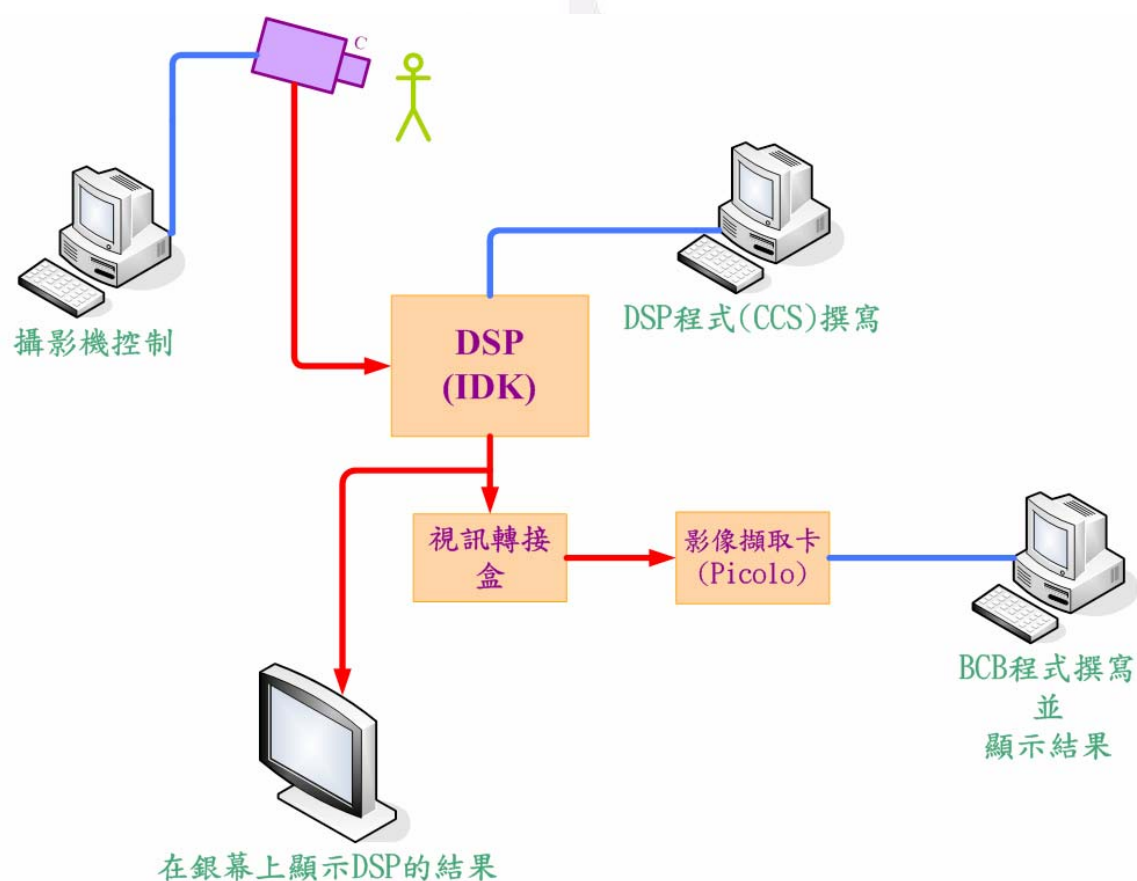
人臉辨識在監視系統中佔著重要的一環，關係著系統的精確度。越好的人臉辨識讓監視系統的效能更好，於是人臉辨識在監視系統為一個關鍵技術。

科技發展讓人類生活趨於便利。將繁重單調的工作交給電腦處理，能把更多的精神放在更有意義的地方。對於人臉辨識系統也是如此，將人臉偵測出來，去除累贅資訊留下對於系統有意義的部份，可以縮短處理速度達到高效能的最終目的。而人臉偵測的應用非常廣泛，包括人臉即時追蹤、人臉註冊、特徵比對...等。基於一項技術能廣泛應用的前提之下，啟發我們的研究興趣。

對於人臉偵測，膚色以及人臉形狀為關鍵之一。我們透過實驗室的設備與演算法結合，得到人臉偵測的實驗效果。

1.2 系統架構

本文所使用的演算法都在個人電腦上模擬，若軟體模擬無誤，便將演算法的程式寫入 DSP 晶片中。所以系統架構如圖 1.1 所示，攝影機將畫面轉為數位訊號傳到 DSP，此時有兩個途徑：一、經過 DSP 運算過後將顯示在銀幕上。二、將原始訊號經由影像擷取卡把訊號傳到電腦上，在電腦上以軟體模擬演算法的結果。



▲圖 1.1 系統架構圖

1.3 實驗設備

- (1) DSP：在軟體模擬時，因為即時影像資料量很大，而 DSP 晶片可以加快演算處理，避免動態影像延遲。如圖 1.3。
- (2) 擷取卡：擷取卡用途是將攝影機的影像資料輸入到電腦，供軟體模擬使用。
- (3) 高畫素攝影機：取得即時影像訊號，給 DSP 與擷取卡做即時處理。如圖 1.2。



▲圖 1.2 攝影機



▲圖 1.3 DSP 子母卡

第二章 人臉辨識之原理與簡介

2.1 簡介

一張影像以人眼來看，便可以很快的分辨是誰，年紀多大、是哪一國人。但對電腦而言，影像只是一堆數值，並無任何意義。於是人要對這些影像的資料加以定義，讓它對電腦而言是有意義的。這些定義可能對人來說是很理所當然的，平常到不會去發覺的細節。這些細節包括五官的個別位置、人臉邊界 ...等。在本文中人臉辨識著重的是邊界與膚色，透過影像處理的理論，可以使用演算法來找尋邊界以及定義膚色，來達到人臉辨識的第一步驟。

2.2 人臉辨識方法

人臉辨識是指圖像中，辨識人臉的真實身分。一般而言，目前做人臉辨識的方法大致可分為下兩種：Feature-based 和 Color-based。

(1) Feature-based

利用人臉部的一些特徵來偵測人臉，例如：人臉上有眼睛、鼻子、嘴巴，而這些器官之間的幾何距離；就整張臉型來說，約略呈橢圓形，且臉和背景之間大致會有邊緣線等，有許許多多的特徵可利用。

(2) Color-based

利用人的臉部顏色來判斷某影像是否為臉；若影像是彩色的，可用 RGB、HSI、YCbCr 色彩系統來統計膚色數值，以作為辨別的依據；若影像為灰階的，膚色部分的灰階值與眼睛、嘴巴、頭髮等部位的灰階值相較之下較小。[1]

以不同角度選擇圖像可得許多分類法，演算法必須隨著不同圖像分類而調整、修正，因此圖像的選擇即為一重要課題(如表 2.1)。本文仿照表 2.1 列出表 2.2 之圖像條件探討實驗。

在 Feature-based 部分找出物件的邊緣；而 Color-based 方面對膚色作運算，以當作辨識人臉的依據。

▼表 2.1 人臉辨識的問題分類

| 分類依據 | 類 別 | |
|------|---|---|
| 圖像來源 | 靜止圖像(包括如數位化的照片、數碼相機拍攝的圖片等，目前考慮的主要問題是演算法的適應性，演算法速度在其次) | 動態圖像(即時監控攝影、影視資料等，為考慮即時處理，因此對演算法的速度有很高的要求) |
| 顏色資訊 | 彩色(RGB、HSI、YCbCr 系統) | 灰階度 |
| 鏡頭類型 | 頭肩部圖像(可避免與身體部位的膚色混淆) | 半身/全身圖像(臉在圖像中所佔的比例減少，則可採信之臉部特徵資訊亦減少許多) |
| 人臉姿態 | 正面(包括端正及平面內旋轉) | 側面(包括俯仰、側影及旋轉) |
| 人臉數目 | 單人(又可以稱為人臉定位，是人臉辨識問題在已知人臉數目情況下的特例) | 未知(需要判定圖像中是否存在人臉、人臉的數目以及各個臉的尺度和位置，即是完全的檢測問題) |
| 圖像背景 | 簡單背景(背景的特徵被嚴格約束，在該條件下只利用人臉的輪廓、顏色、運動等少量特徵，就能夠進行準確檢測) | 複雜背景(指背景的类型和特徵不受約束，某些區域可能在色彩、紋理等特徵上與人臉相似，必須利用較多的人臉特徵才能做到準確檢測) |

▼表 2.2 圖像條件

| 分類依據 | 類 別 與 簡 述 | |
|------|----------------------------------|------------------------------------|
| 圖像來源 | 靜止圖像(動態圖像所擷取之單張圖片，用來計算膚色之 HSI 值) | 動態圖像(即時動態攝影，演算法的速度將影響是否能夠達成即時影像處理) |
| 顏色資訊 | 彩色(圖像的 RGB 與 HSI 資料為本實驗重要運算資訊) | |
| 鏡頭類型 | 頭肩部圖像 | |
| 人臉姿態 | 正面(包括端正及平面內旋轉)、側面(包括俯仰、側影及旋轉) | |
| 人臉數目 | 人臉越少，效果越好(邊緣偵測部分之故) | |
| 圖像背景 | 簡單背景(無雜物，避免影響邊緣偵測效果) | |

第三章 邊緣偵測

3.1 邊緣偵測的方法

邊緣偵測是為了尋找影像中物體輪廓的一個過程。當影像以灰階度表示時，物件邊緣像素與其臨近像素間的灰階值變化較大。而灰階變化度可視為灰階之梯度，當灰階梯度值越大表示灰階變化度越大，因此可用演算法突顯出物件邊緣。物件邊緣在灰階圖上，會有幾種常見的邊緣：灰階值變化較慢的斜面邊緣(Ramp edge)與峰頂邊緣(Roof edge)、灰階值變化突然的步階邊緣(step edge)與直排邊緣(line edge)，如圖 3.1。

在邊緣偵測中可以用一階導數(First-order derivative)來求出灰階梯度值，又可稱為梯度運算子(Gradient Operator)，如(3-1)式。(3-2)式表梯度的強度。實際上為了運算便利性，在求梯度強度時通常是用(3-3)式或(3-4)式。[7]

$$G[f(x,y)] = \begin{bmatrix} G_x \\ G_y \end{bmatrix} = \begin{bmatrix} \frac{\partial f}{\partial x} \\ \frac{\partial f}{\partial y} \end{bmatrix} \quad \dots\dots\dots(3-1)$$

$$|G[f(x,y)]| = \sqrt{G_x^2 + G_y^2} \quad \dots\dots\dots(3-2)$$

$$|G[f(x,y)]| \approx |G_x| + |G_y| \quad \dots\dots\dots(3-3)$$

$$|G[f(x,y)]| \approx \max(|G_x|, |G_y|) \quad \dots\dots\dots(3-4)$$

一般來說邊緣偵測都會分為 X 方向與 Y 方向做個別處理，且會利用遮罩(mask)方式與圖像灰階陣列作旋積。如法線方向(3-5)與水平方向(3-6)，但通常會在相反方向作平滑處理(3-7)。將兩個步驟合併起來即 Prewitt 遮罩(3-8)。但 Prewitt 遮罩過於平滑會使得部份邊緣模糊掉，為改善此問題而衍生 Sobel 遮罩(3-9)。另外還有一種叫作 Roberts cross-gradient 遮罩對斜線方向作偵測(3-10)。以上遮罩都屬於一階導數的應用，其共同缺點為對雜訊敏感。

$$[-1 \ 0 \ 1] \quad \dots\dots\dots(3-5)$$

$$\begin{bmatrix} -1 \\ 0 \\ 1 \end{bmatrix} \quad \dots\dots\dots(3-6)$$

$$\begin{bmatrix} 1 \\ 1 \\ 1 \end{bmatrix} \text{ 和 } [1 \ 1 \ 1] \quad \dots\dots\dots(3-7)$$

$$\text{Prewit 遮罩 : } P_x = \begin{bmatrix} -1 & 0 & 1 \\ -1 & 0 & 1 \\ -1 & 0 & 1 \end{bmatrix} \text{ 和 } P_y = \begin{bmatrix} -1 & -1 & -1 \\ 0 & 0 & 0 \\ 1 & 1 & 1 \end{bmatrix} \quad \dots\dots\dots(3-8)$$

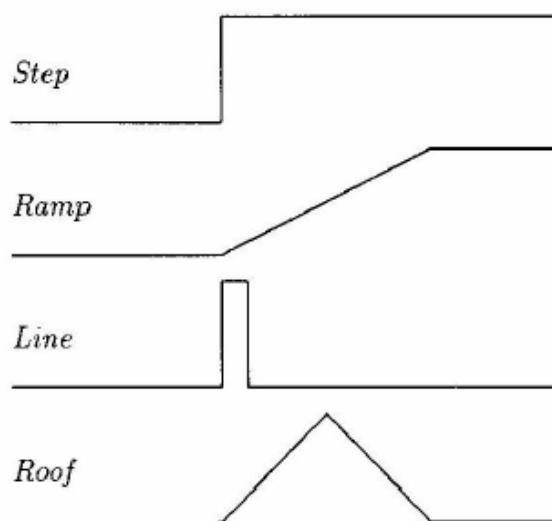
$$\text{Sobel 遮罩 : } S_x = \begin{bmatrix} -1 & 0 & 1 \\ -2 & 0 & 2 \\ -1 & 0 & 1 \end{bmatrix} \text{ 和 } S_y = \begin{bmatrix} -1 & -2 & -1 \\ 0 & 0 & 0 \\ 1 & 2 & 1 \end{bmatrix} \quad \dots\dots\dots(3-9)$$

$$\text{Roberts cross-gradient 遮罩 : } \begin{bmatrix} 1 & 0 & 0 \\ 0 & -1 & 0 \\ 0 & 0 & 0 \end{bmatrix} \text{ 和 } \begin{bmatrix} 0 & 0 & 1 \\ 0 & -1 & 0 \\ 0 & 0 & 0 \end{bmatrix} \quad \dots\dots\dots(3-10)$$

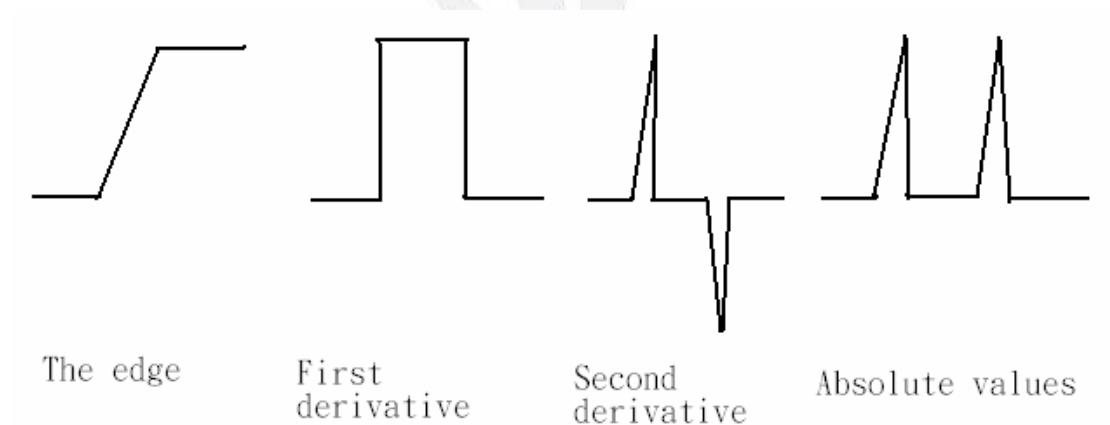
第二種方式是經過二階導數(Second-order derivative)運算灰階值後，由正數轉為負數或負數轉為正數的越零點(Zero Crossings)在圖像的物件上為凸點或凹點，連結後即可得到約略的邊緣。又可稱為拉普拉斯運算子(Laplacian operator)[2]，常用的遮罩如(3-11)式[6]。一階導數與二階導數比起來，一階導數對於偵測的效果較好；二階導數對於將邊緣細化的部份作的較好。

但二階導數的缺點是對於雜訊的干擾很敏感。而經由視訊所得到的影像，常常會受到雜訊的干擾，使得物件的邊緣被切斷、將非邊緣的地方偵測出來或是偵測出來的邊緣變形。這些問題是以上邊緣偵測法所難以解決的，然而 Canny edge detection 卻可以解決這個問題。

$$\text{Laplacian 遮罩} : \begin{bmatrix} 0 & 1 & 0 \\ 1 & -4 & 1 \\ 0 & 1 & 0 \end{bmatrix} \text{ 或 } \begin{bmatrix} 1 & 1 & 1 \\ 1 & -8 & 1 \\ 1 & 1 & 1 \end{bmatrix} \text{ 或 } \begin{bmatrix} -2 & 1 & -2 \\ 1 & -4 & 1 \\ -2 & 1 & -2 \end{bmatrix} \dots\dots\dots(3-11)$$



▲圖 3.1 灰階影像邊緣示意圖



▲圖 3.2 邊緣經過一階到二階的過程

3.2 Canny edge detection 演算法[3][6][7]

Step1 Smoothing

將整張影像 $I(i,j)$ 先經過高斯平滑濾波器 $G(i,j)$ (3-12) 式，然後再分別對 x 方向與 y 方向計算其 Laplacian (3-13) 式~(3-14) 式。意思同於對影像作線性 Laplacian of Gaussian 濾波器。實作上即利用圖 3.3 (a) 遮罩對影像作旋積(convolution) 可以原始圖像看起來更為平滑，避免在對圖像作運算時，少數極端的灰階值影響偵測結果，如：雜訊、歧異點。

$$S(i, j) = G(i, j, \sigma) * I(i, j) \quad \dots\dots\dots(3-12)$$

$$P(i, j) \approx (S(i+1, j) - S(i, j) + S(i+1, j+1) - S(i, j+1)) / 2 \quad \dots\dots\dots(3-13)$$

$$Q(i, j) \approx (S(i, j+1) - S(i, j) + S(i+1, j+1) - S(i+1, j)) / 2 \quad \dots\dots\dots(3-14)$$

※註：本文使用 Grayscale Morphology 代替高斯濾波器，關於型態學介紹於 3.3 應用於影像處理的形態學(Morphology)。

Step2 Gradient

計算其梯度向量和大小，梯度向量表該點在平面上變化最大的方向。在實際運算上，水平(垂直)方向上的梯度計算是以經過平滑處理後的灰階圖像與 Sobel 遮罩各別作旋積後再利用(3-4)式，以及對平滑後的 $Q(i, j)$ 與 $P(i, j)$ 取 inverse tangent，算出梯度近似值如(3-15)式。

$$\theta(i, j) = \tan^{-1} \left(\frac{Q(i, j)}{P(i, j)} \right) \dots\dots\dots(3-15)$$

Step3 Non-maximum suppression

將上一步所算出的 inverse tangent 值，如同圖 3.4 所劃分的方式辨別屬於哪個區域。然後該凸起點延著梯度方向比較前後兩點，若小於則該點設為 0。此步驟可以使偵測出來的邊緣不會過寬。

Step4 Hysteresis Thresholding

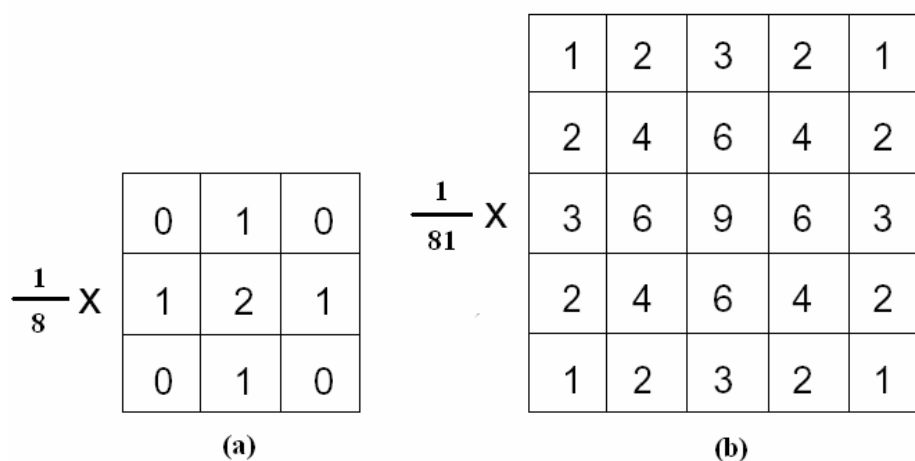
利用雙臨界值演算法(thredholding)，做邊界的判別與連結。首先設定兩個臨界值(較小臨界值 T_L 、較大臨界值 T_H)。

- 當梯度大於 T_H ，表示該點為邊緣上的一點。
- 當梯度介於 T_H 與 T_L 之間，表示可能為邊緣上的一點。必須還要看看附近的點是否為邊緣，才能判定。
- 當梯度小於 T_L ，表示該點並非邊緣。

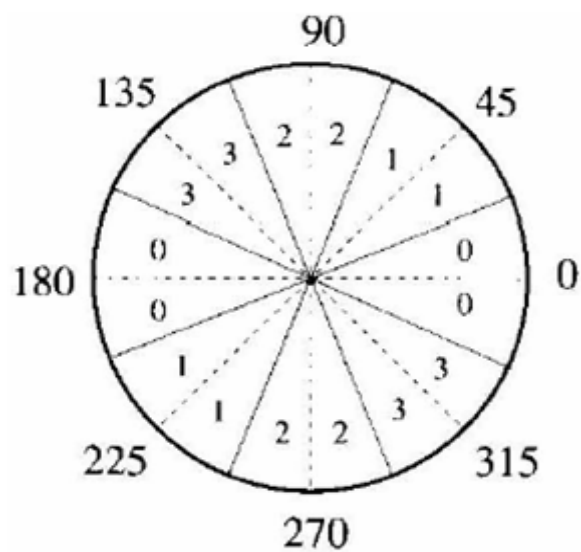
這一步驟主要是為了要避免因為雜訊干擾下，所造成的幾個問題：影像的整條邊緣變得斷斷續續，將不是邊緣的部份當成邊緣偵測出，或是扭曲原來影像的邊緣。

Canny edge detection 擁有以下幾點好處，因此本文選用此演算法。[3]

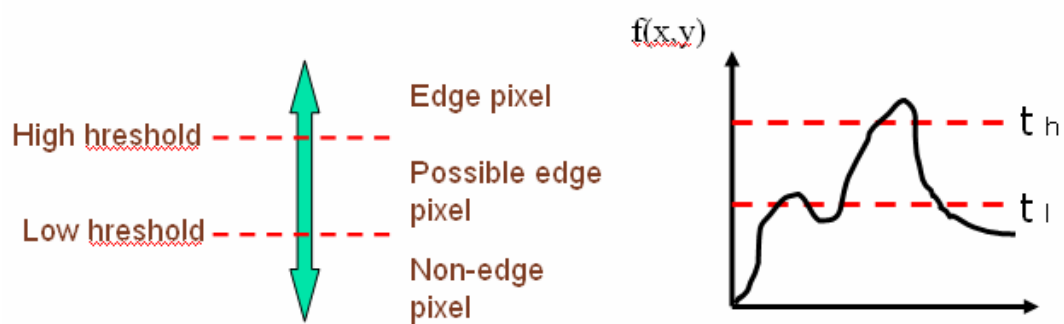
- (1) 偵測錯誤率低：幾乎可以完全偵測到影像的邊緣。
- (2) 定位效能好：圖像中真實邊界與演算之後邊界距離差異小。
- (3) 良好的反應值：邊緣上的點都有唯一的反應值，因此偵測出來的邊緣不會過寬。



▲ 圖 3.3 (a) 3x3 mask (b) 5x5 mask



▲圖 3.4 方向畫分圖



▲圖 3.5 Hysteresis Thresholding 示意圖

3.3 應用於影像處理的形態(Morphology)[4][5][6]

形態學是一種對物件作邊界處理的演算法，其特點為減少細部資訊又可保留邊緣。基本上是利用一個 $n*m$ 的像素矩陣與被處理的物件進行像素運算。其中可以分為四種，所有形態學的應用都是以四種運算混合使用。

假設 A 像素遮罩為被處理之圖像，B 像素遮罩為運算處理之遮罩，B 像素遮罩又稱為結構元素(structuring elements)。

(1)擴散(dilation)

定義為 $A \oplus B = \cup A_x; x \in B$ 。擴散以結構元素形狀來定義一個鄰域內選擇 $A+B$ 的最大值，所以灰階影像上進行擴散的效果為：

- 如果 B 值均為正，則輸出影像傾向比輸入影像明亮。
- A 的黑暗細節會依據 B 的值與形狀減少或消除。如圖 3.6。

(2)浸蝕(erosion)

浸蝕則是可以讓圖像 A 的外形均勻縮小，若以數學式表示即 $A \ominus B = \{w : B_w \subseteq A\}$ 。浸蝕以結構元素形狀來定義一個鄰域內選擇最小值為基礎，所以灰階影像上進行浸蝕的效果為：

- 如果 B 值均為正，則輸出影像傾向比輸入影像暗。
- 輸入影像中比 B 小的區域，其亮度細節將被減少，減少程度取決於亮細節周圍灰階值與 B 的形狀及振幅。如圖 3.7。

(3) 斷開(opening)

先對圖像 A 作浸蝕再作擴張。一般表示為 $A \circ B = (A \ominus B) \oplus B$

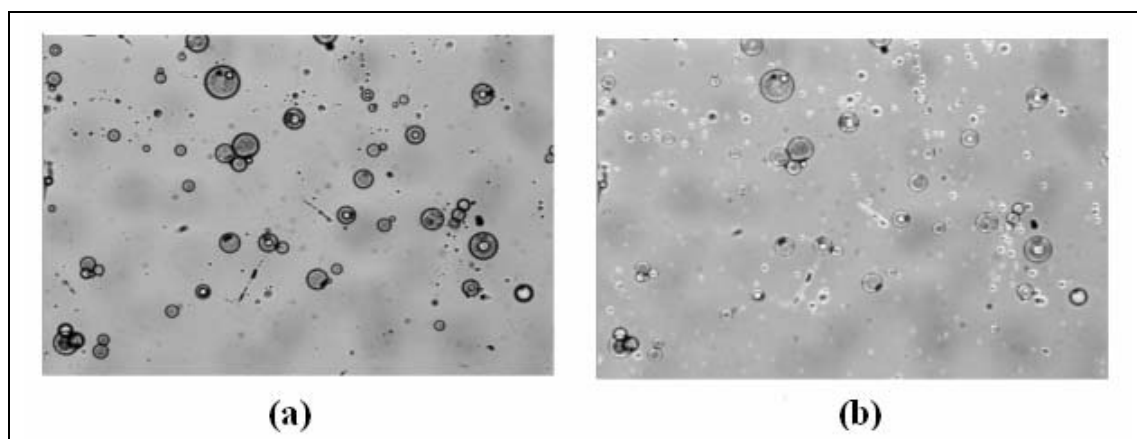
亦可表示為 $A \circ B = \bigcup \{B_W : B_W \subseteq A\}$ 。其功用在於可以除去影像中之雜訊小點。如圖 3.8。

(4) 閉合(closing)

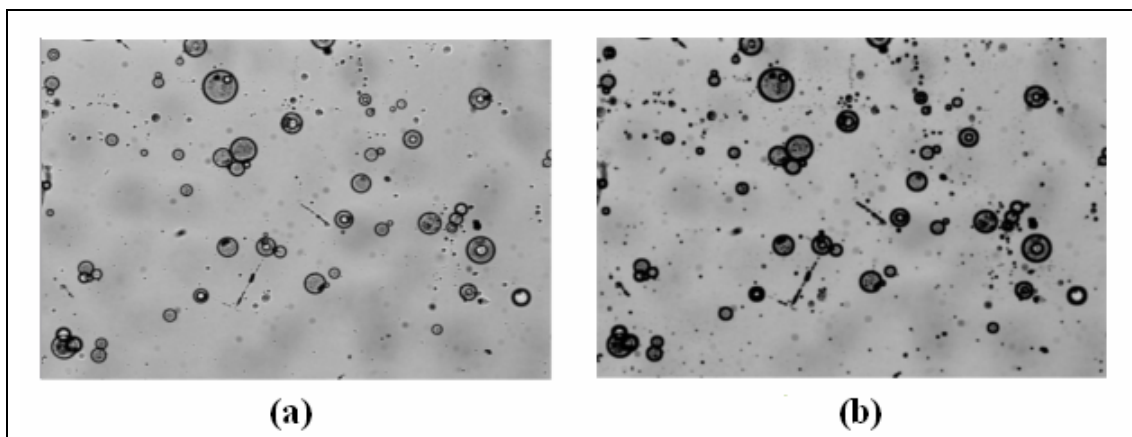
與斷開相反，先對圖像 A 作擴張再作浸蝕。一般表示為

$A \bullet B = (A \oplus B) \ominus B$ 。其功用在於可以補影像中之小洞及將一些斷線連接起來。如圖 3.9。

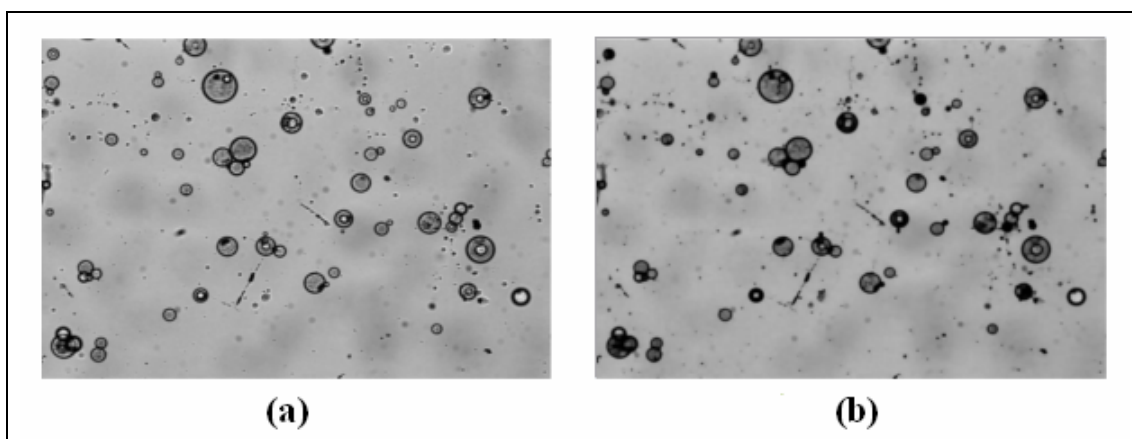
本文所使用的 Grayscale Morphology 是先斷開再作閉合，對影像作平滑的處理。以 Morphology 代替 Laplacian of Gaussian，是因為前者定位效能與邊緣細化效果都比後者優良。



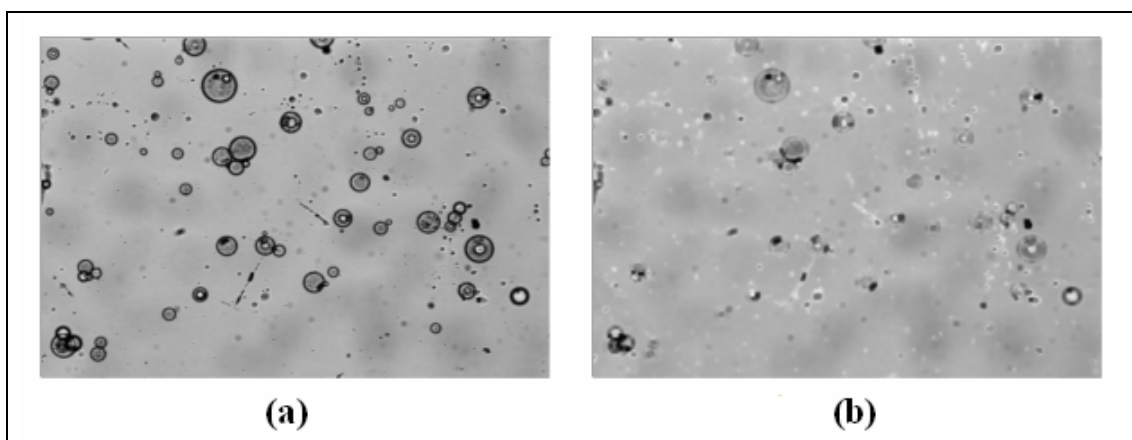
▲ 圖 3.6 (a)原圖 (b)擴張示意圖



▲圖 3.7 (a)原圖 (b)浸蝕示意圖



▲圖 3.8 (a)原圖 (b)斷開示意圖



▲圖 3.9 (a)原圖 (b)閉合示意圖

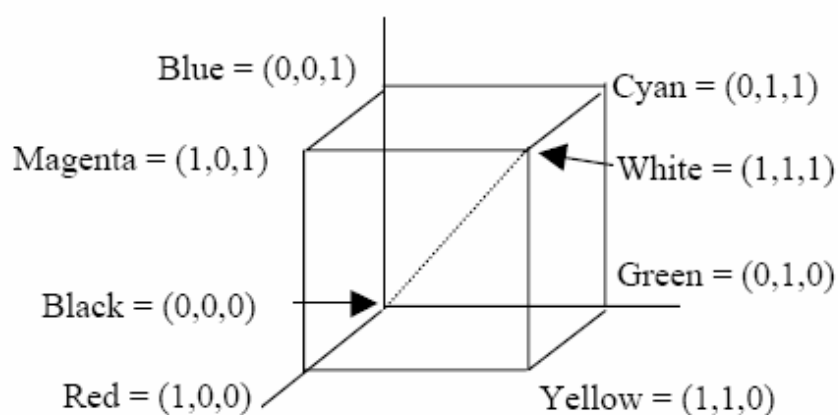
第四章 色彩系統

4.1 RGB 色彩系統

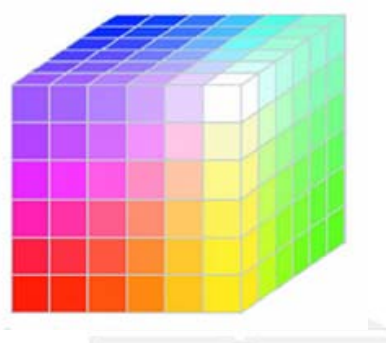
RGB 系統為電腦常採用的色彩資訊，原因可推至早期 CRT 螢幕時的設計原理，由電子槍所產生的電子流打到屏幕磷光點上反射出的是三原色光，而 RGB 正是以此為定義的色彩系統。

RGB 色彩系統是由紅色(Red)、綠色(Green)和藍色(Blue)的色光三原色所組成。被稱為色光三原色的原因，是由於它們無法再進行分解，而且也不能由其他色光混合出來。因為其混合的結果會得到越明亮的色光，稱為「加色混合」，當三原色光皆以 100%混合時，則會呈現白色光。

RGB 彩色模式是屬於一個三維的直角座標系，可以視作為立方體座標系，如圖 4.1。其 R 相當於 X 軸；G 相當於 Y 軸；B 相當於 Z 軸。因此若用座標來表示，(1,0,0)代表紅色；(0,1,0)代表綠色；(0,0,1)代表藍色。黑色在原點(0,0,0)的位置，白色則在立方體的另一端，座標(1,1,1)，如圖 4.2。當 R:G:B 等比例混合時，當 R、G、B 等量相加時，因不受 RGB 任一成份的影響可視為灰階。



▲圖 4.1 RGB 色彩系統座標係



▲圖 4.2

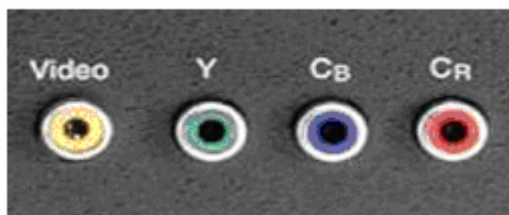
4.2 YCbCr 色彩系統

YCbCr 和 YUV、YIQ 是常用於視訊、電視影像傳輸的色彩模式，如圖 4.3。原理是依據人類對於亮度的變化比顏色的改變來的敏感，所以利用減少顏色的頻寬而增加亮度的頻寬，使頻寬達到有效利用。

YUV 主要用於 PAL 視訊標準而 YIQ 則是用於 NTSC 視訊標準上。其中的 Y 都代表亮度，即是由彩色轉換成灰階影像的灰階值或稱之為亮度值(luminance)，而其轉換公式(4-1)主要是依據人類的眼睛對綠色(0.587)、紅色(0.299)、藍色(0.114)三原色的不同敏感度而來，其中係數值越大則表人的眼睛對於該顏色較為敏感。

YCbCr 色彩系統又稱為 YPbPr 系統，簡稱 YCC 系統。它是由 YUV 系統正規化而來的一種色彩空間。定義於 CCIR Recommendation 601 規格[9]，規定 YCbCr 各為 8bit(即 0-255)的編碼，其中 Y 為明亮程度，其值為 16 到 235，代表明亮程度由暗到亮，共分為 220 個亮度等級。16 代表黑色，235 代表白色，並將其值±16 作為補償，使其值正規化至(0, 255)。而彩度 Cb 表偏藍色差向量，Cr 表偏紅色差向量，其值皆為-112 到+112，並將其值+128 作為補償，使其值(16, 240)，共有 225x225 種彩度。

$$\begin{bmatrix} Y \\ Cb \\ Cr \end{bmatrix} = \begin{bmatrix} 16 \\ 128 \\ 128 \end{bmatrix} + \begin{bmatrix} 65.481 & 128.533 & 24.966 \\ -37.797 & -74.203 & 112 \\ 112 & -93.786 & -84.214 \end{bmatrix} \begin{bmatrix} R \\ G \\ B \end{bmatrix} \quad \dots\dots\dots(4-1)$$



▲圖 4.3

4.3 HSI 色彩系統

人眼並不能分解色彩的組成量，所以 RGB 或是 YCbCr 系統對於人類是難以理解的，若有一系統能先將顏色分類，然後再控制色彩的細節，那正符合我們人眼的視覺，依照此需求所設計的色彩系統正是 HSI 色彩系統。

HSI 色彩系統將顏色分為色度(Hue)、飽和度(Saturation)、亮度(Intensity)三個部分來分別作表示，如圖 4.4。此系統將色度定義在 0~360 的角度範圍，而飽和度與亮度的值定義為 0~1 之間，其轉換公式為(4-2)~(4-5)式。

$$H = \begin{cases} \theta & \text{if } B \leq G \\ 360 - \theta & \text{if } B > G \end{cases} \dots\dots\dots(4-2)$$

$$\theta = \cos^{-1} \left\{ \frac{\frac{1}{2}[(R-G) + (R-B)]}{[(R-G)^2 + (R-B)(G-B)]^{1/2}} \right\} \dots\dots\dots(4-3)$$

$$S = 1 - \frac{3}{(R+G+B)} [\min(R, G, B)] \dots\dots\dots(4-4)$$

$$I = \frac{1}{3}(R+G+B) \dots\dots\dots(4-5)$$

(1) Hue 色度

色度或稱為「色相」，指的是色彩相位，因此為一個角度。色度就像一張對照表，將顏色指定到特定角度。例如：在 $H=0^\circ$ 時為紅色系， $H=120^\circ$ 時為綠色系， $H=240^\circ$ 時為藍色系。由於色度其值在 $0^\circ \sim 360^\circ$ 不斷循環，因此可視作一色相環，如圖 4.5。

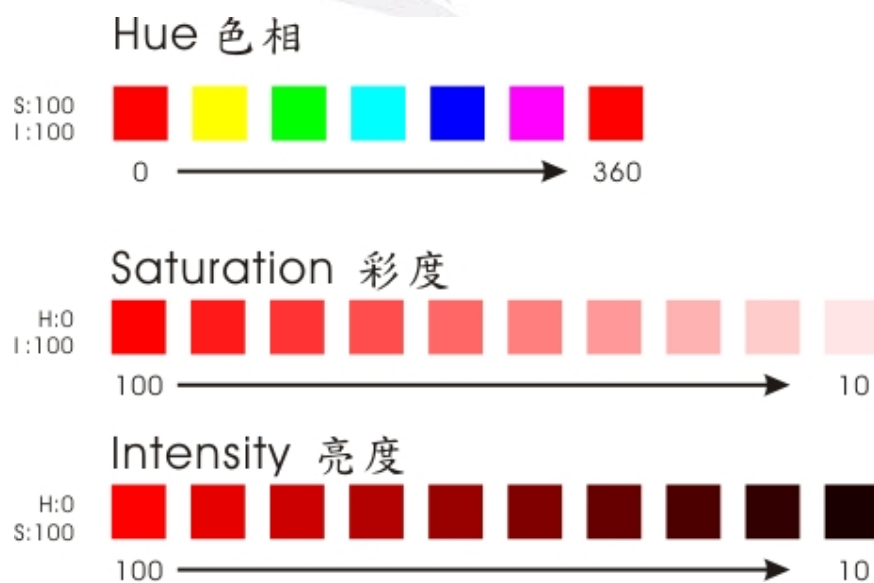
(2) Saturation 飽和度

飽和度是指色彩混濁的程度。飽和度越高，表顏色越鮮艷，飽和度越低，表顏色越混濁。在同一色相中，飽和度最高者稱為「純色」，其色彩中完全不含黑白成份。例如紅色係中，其飽和度最高的就是純紅色。

(3) Intensity 亮度

亮度又可稱「明度」，指的是物體反射光的程度，也可以說是光的能量。因此一張彩色影像的亮度資訊，相當於該影像的灰階影像。

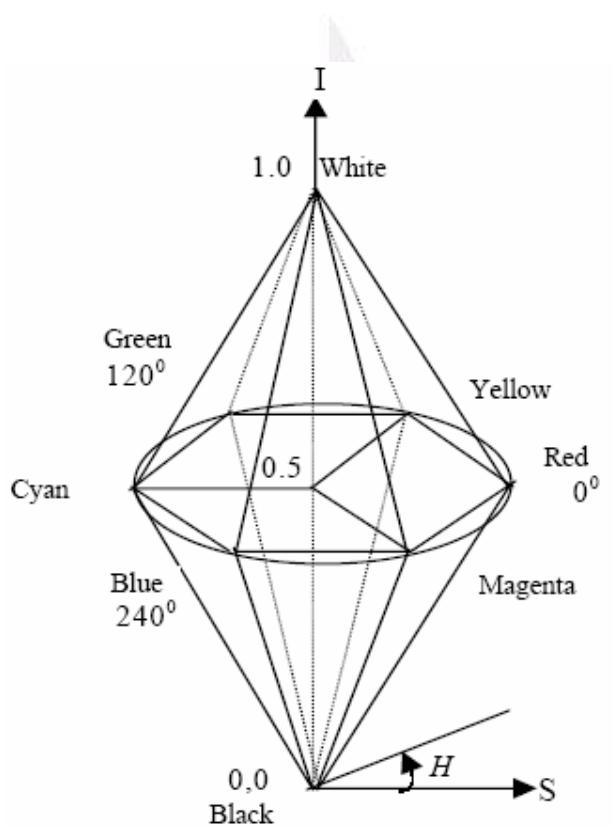
HSI 彩色模式可視為一個圓柱座標系，H 對應到 Φ (切線向量)，S 對應到 R(半徑)，I 對應到 Z(高度)，如圖 4.6 所示。



▲圖 4.4 色彩三要素



▲圖 4.5 色相環



▲圖 4.6 HSI 色彩系統座標係

第五章 演算法

5.1 演算架構

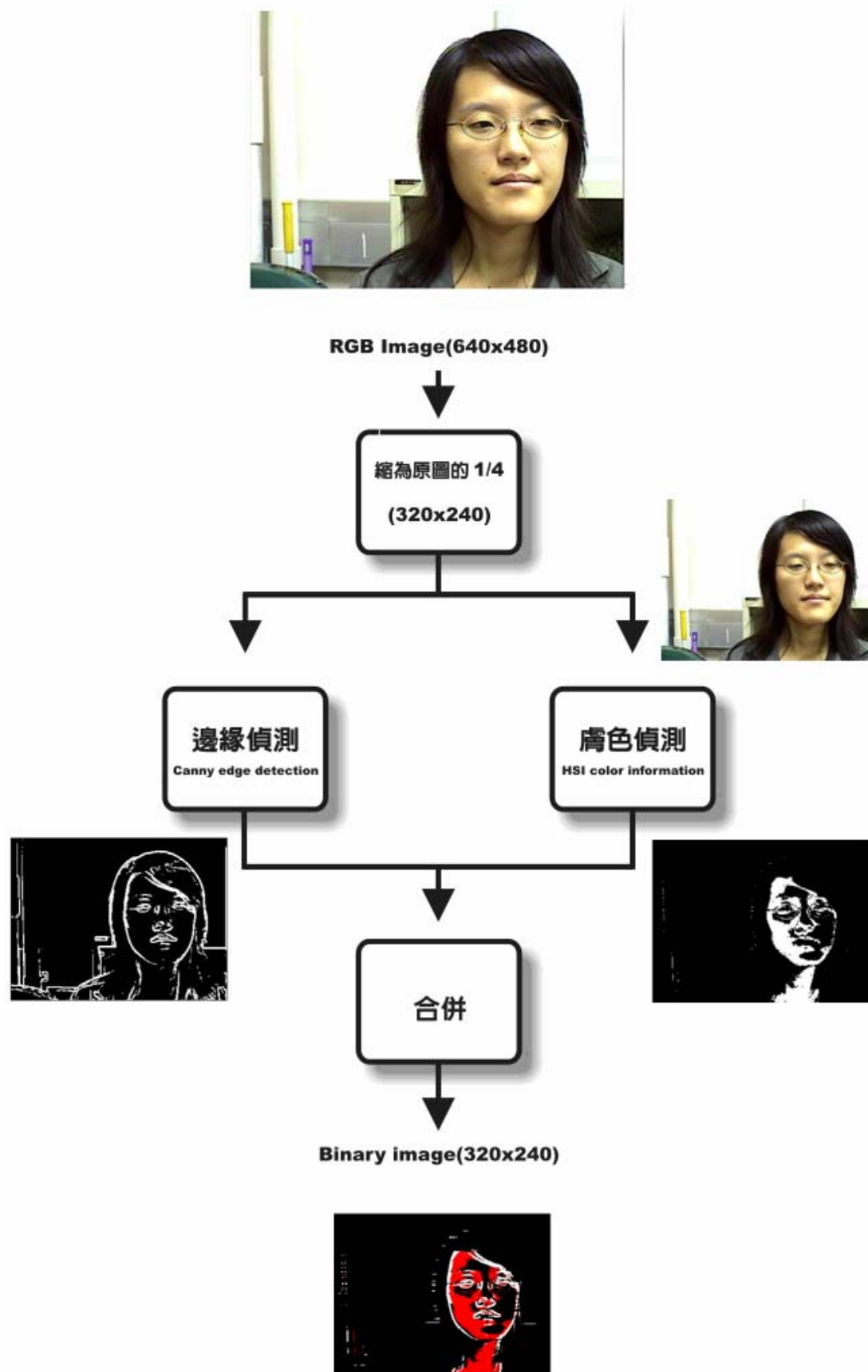
5.1.1 程式構思

本文使用的人臉偵測方法，利用「邊緣偵測」和「膚色偵測」找出人臉的皮膚部分。再依兩者所得到的結果作判斷，找出人臉位置。

5.1.2 步驟

本文使用的人臉偵測方法的程式其流程便如圖 5.1 所示，步驟如下：

- (1) 將處理前的即時影像縮為原影像的 1/4：因為電腦無法處理 640x480 及時影像這麼龐大的資料量，因此先作縮圖的動作。
- (2) 邊緣偵測 (canny edge detection)：主要在作抓取的人臉的形狀，可以準確的框出人臉位置。
- (3) 膚色偵測 (HSI color information)：利用人臉膚色色彩資料，判別可能為人臉訊息。利用 HSI 色彩系統，判別是否為膚色。
- (4) 合併：將邊緣偵測和膚色偵測的結果，判斷人臉位置。



▲圖 5.1 程式架構圖

5.2 邊緣偵測

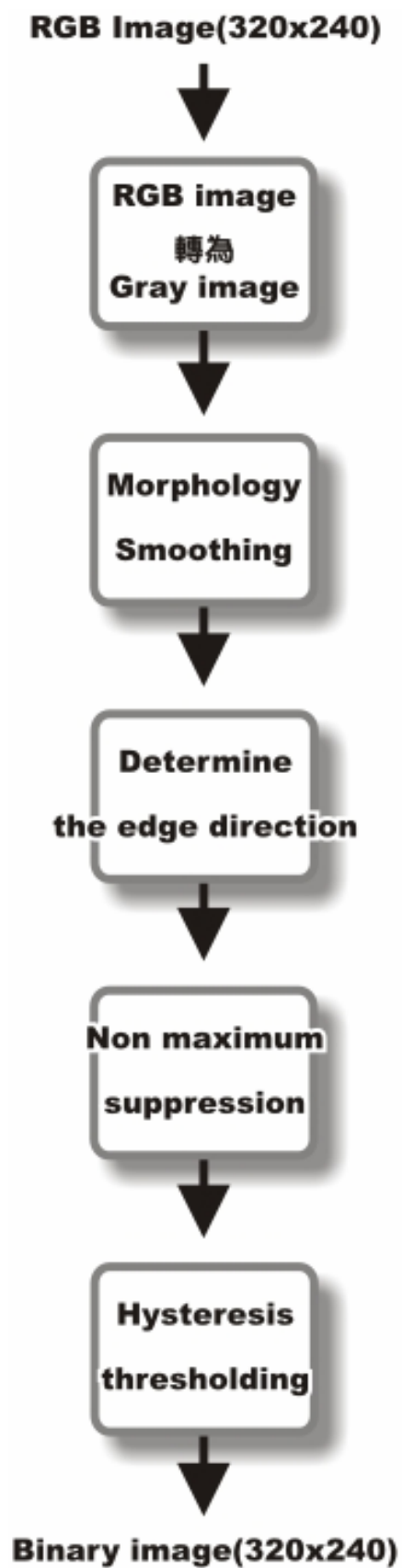
5.2.1 程式構思

因為膚色色彩非均勻分佈於臉上，只利用膚色偵測，臉部邊緣陰影處可能無法被偵測到，造成所偵測到的人臉是不完整的。因此本文選用 Canny edge detection 偵測邊緣，其目的在找出人臉位置。

5.2.2 步驟

本文使用的邊緣偵測方法為 Canny edge detection，其流程便如圖 5.2 所示，步驟如下：

- (1) 先將 RGB 彩色影像轉為灰階影像。
- (2) Morphology smoothing 消除雜訊。
- (3) 求出其每個 pixel 的梯度向量和大小。
- (4) 找出每個 pixel 梯度方向最大值。
- (5) 設臨界值 TH、TL 找邊緣。



▲圖 5.2 邊緣偵測

5.3 色彩資訊偵測

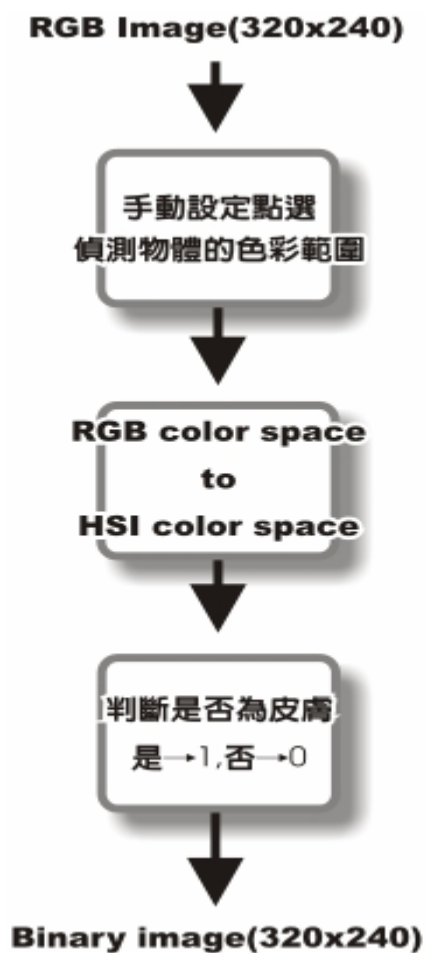
5.3.1 程式構思

HSI 色彩系統是經過比較後，發現最符合人眼視覺的色彩系統。因此本文選用 HSI 色彩系統的色彩訊息來判斷皮膚部分。其目的在找出一個最佳中心點(H_0, S_0, I_0)和半徑 R_0 。以(H_0, S_0, I_0)為球心， R_0 為半徑的球體，當其值在球體內，判別為皮膚；球體之外，視為非重要訊息。

5.3.2 步驟

本文使用的膚色偵測的色彩模式 HSI color information，其流程如圖 5.3 所示，步驟如下：

- (1) 手動設定
- (2) RGB 色彩系統轉為 HSI 色彩系統
- (3) 判斷是否為膚色



▲圖 5.3 膚色偵測

5.4 設定不同環境的膚色取樣範圍

5.4.1 程式構思

起初利用單張影像去找其 HSI 值，再給定 HSI 範圍，發現其偵測效果不彰，只對該張圖像有效。又鑒於在不同的環境、光線強弱和攝影器材的不同，都會影響膚色取樣範圍。因此開始有「手動設定偵測物體的色彩資訊」的想法，在新的環境下，初次使用時，需做手動

設定點選要測量的物體，由程式計算其中心點(H_0, S_0, I_0)和半徑 R_0 ，做為之後演算的依據。

5.4.2 步驟

手動點選偵測物體，計算其中心點和半徑。其流程如圖 5.4 所示，步驟如下：

- (1) 擷取一張靜態影像。
- (2) 用滑鼠點選所要偵測的色彩範圍。
- (3) 滑鼠點選的影像，RGB 彩色訊息轉為 HSI 色彩訊息。
- (4) 計算其中心點(H_0, S_0, I_0)和半徑 R_0 。



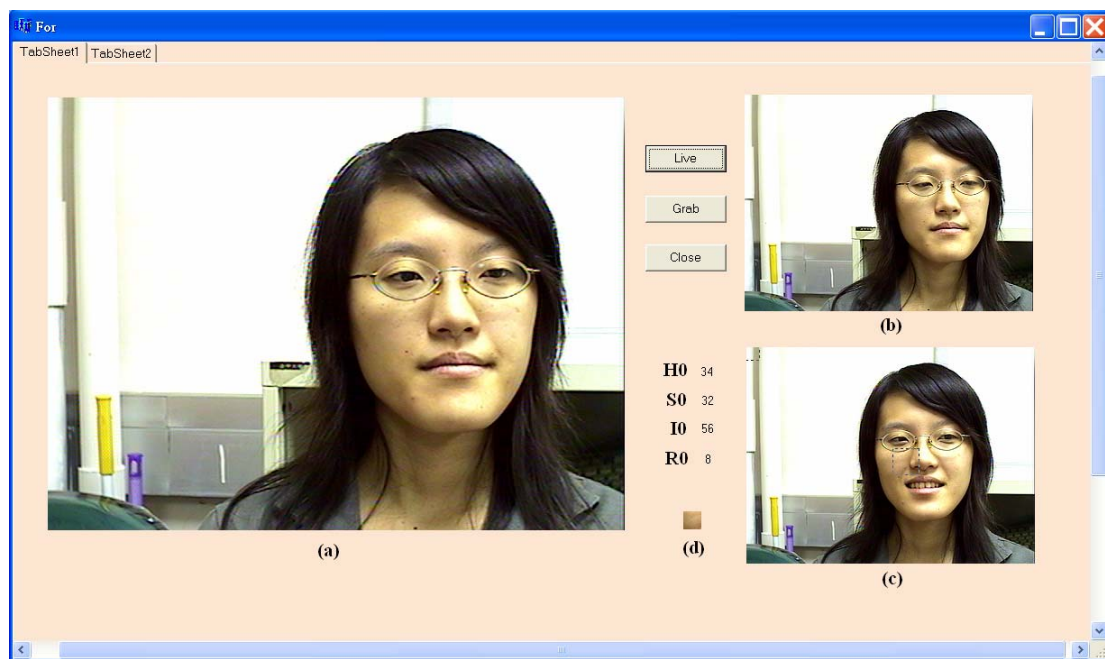
▲圖 5.4 手動設定點選偵測物體的色彩範圍

第六章 結果討論與未來研究方向

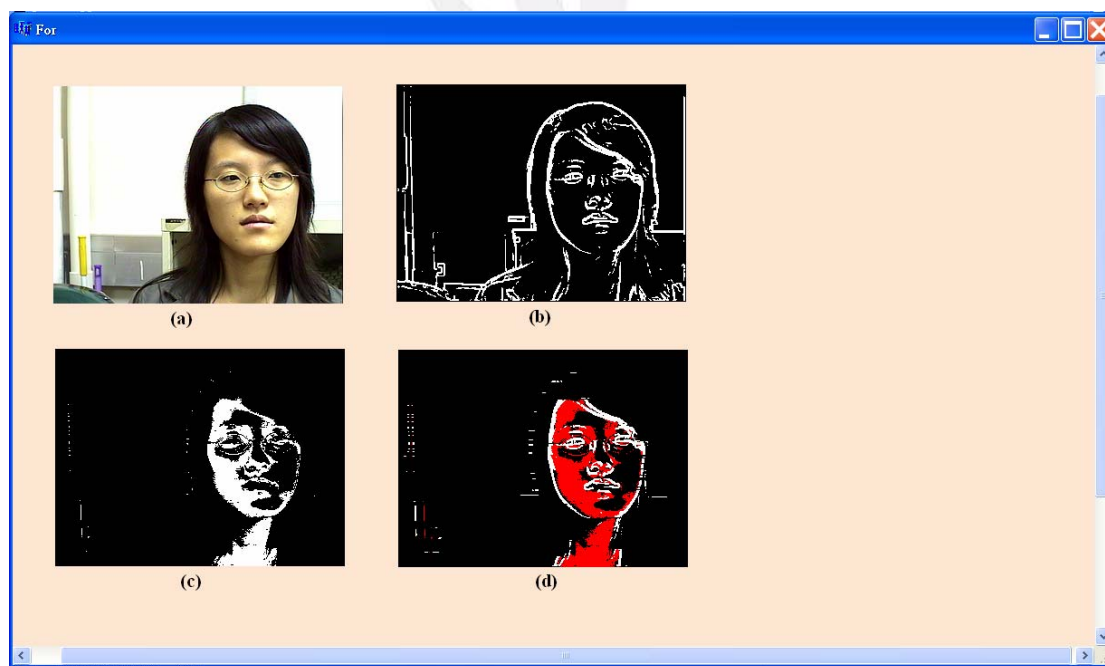
6.1 實驗結果

我們將分成視窗介面分為兩頁。第一個頁面，設定在不同環境下，偵測顏色的平均值：中心點和半徑，如圖 6.1。圖 6.1(a) 640x480 的即時影像；圖 6.1(b) 縮為原影像 1/4 的即時影像；圖 6.1(c) 擷取影像，用滑鼠移動視窗點選偵測物的色彩資訊；圖 6.1(d) 點選視窗的影像。

第二頁為偵測的結果，並將 Canny edge detection 和膚色偵測所得到的結果，將是邊緣也是膚色的部份用白色表示；非邊緣但是膚色的部份用紅色表示；其餘視為非臉部訊息，以黑色表示。如圖 6.2。圖 6.2(a) canny edge detection 結果；圖 6.2(b) 膚色偵測的結果；圖 6.2(c) 合併的結果。



▲圖 6.1 實驗結果(一)



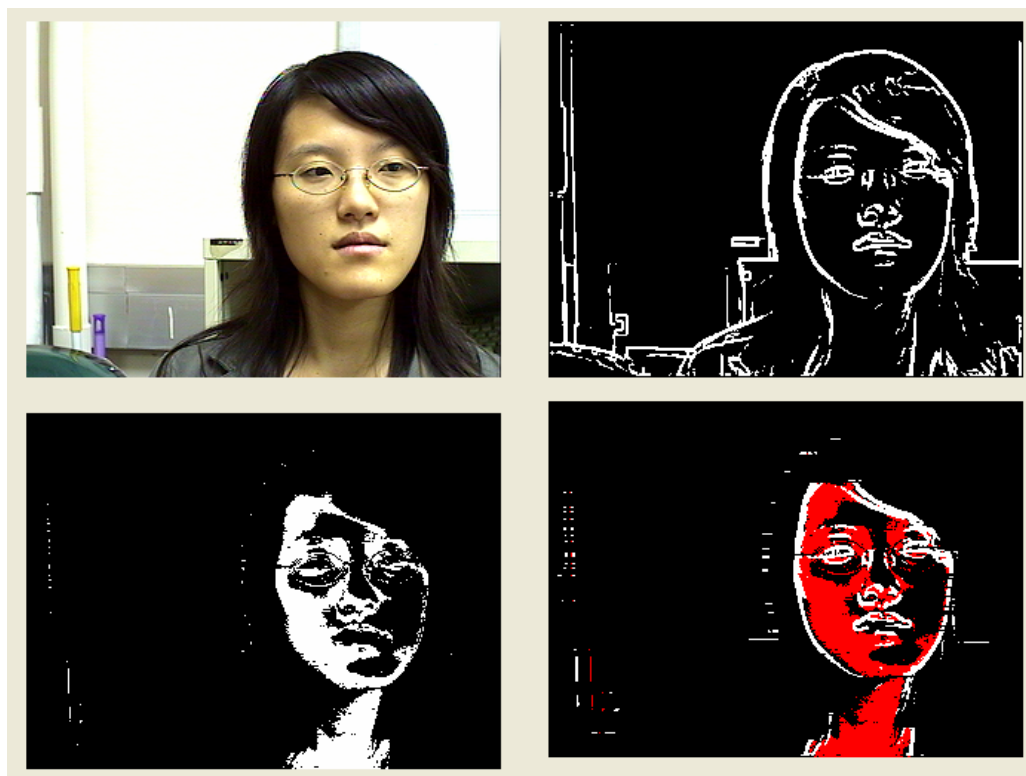
▲圖 6.2 實驗結果(二)

6.2 不同條件下實驗結果比較

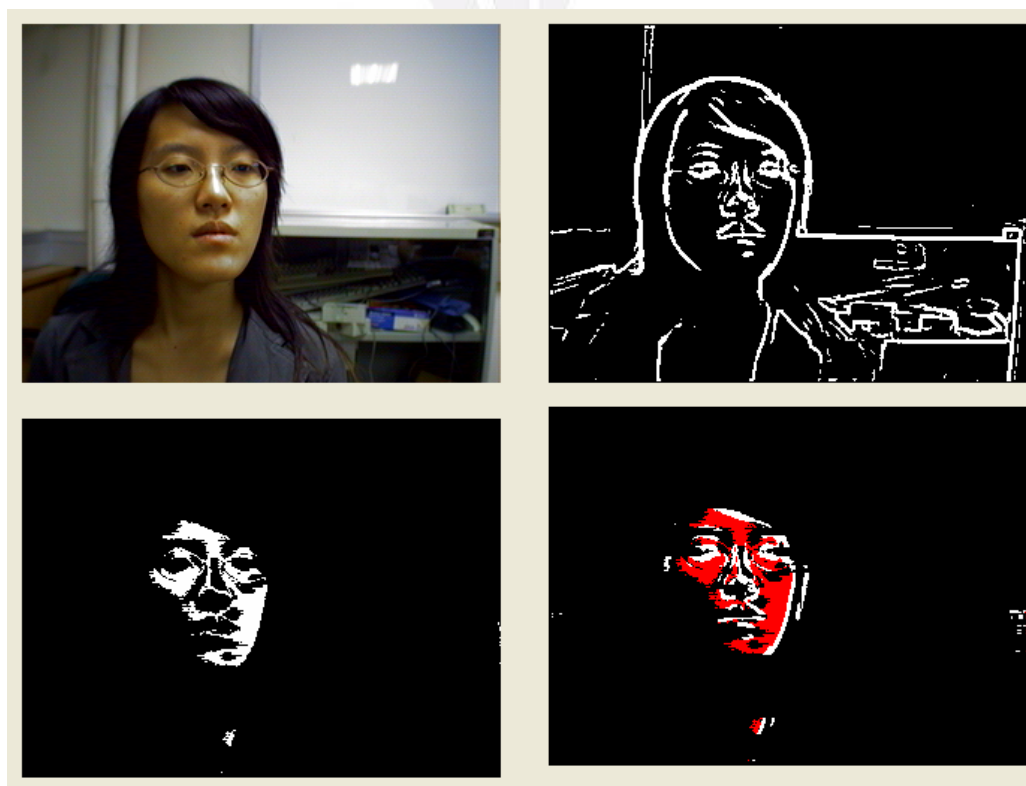
本文利用在不同條件下，比較偵測的效果的不同。表 6.1 是就各種可能發生情況的實驗結果並加以探討。

▼表 6.1 不同條件下偵測結果

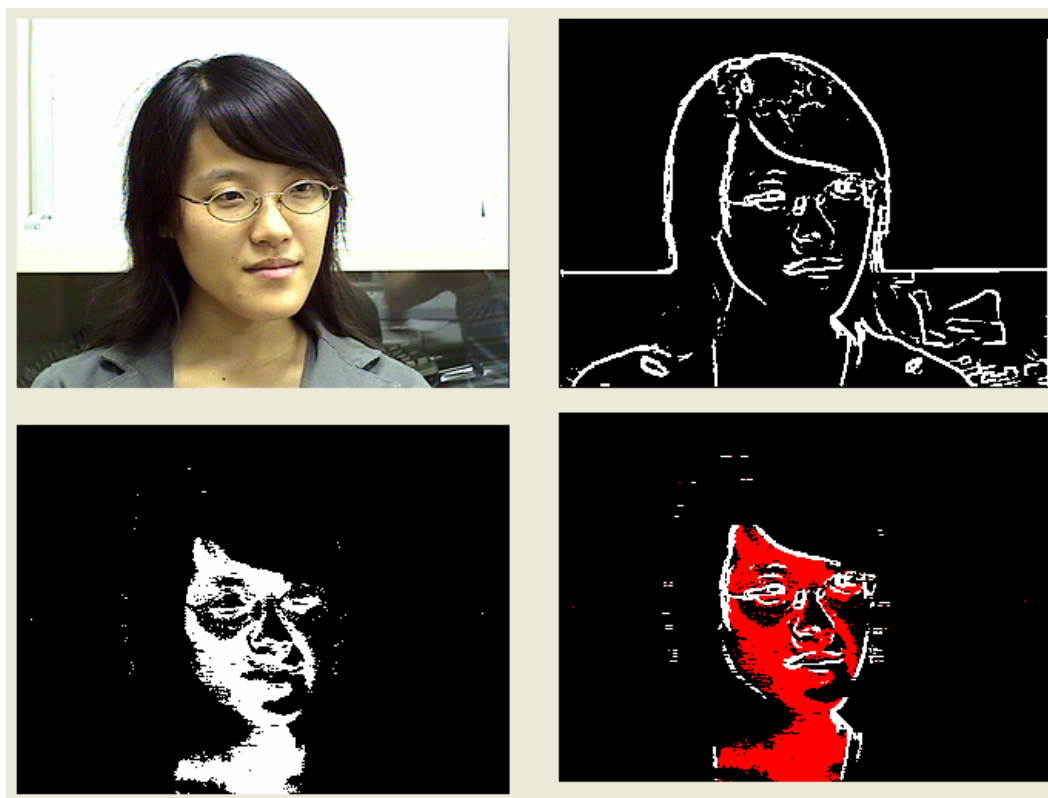
| 分類依據 | 結果 |
|--------------|--|
| 圖像來源 | 不同的攝影設備經過擷取卡，讀取進來的色彩資訊不同。中心點(H0,S0,I0)和 R0 的範圍都有所差異，因此偵測效果也會有所不同。如圖 6.3-6.4。 |
| 圖像背景 複雜程度 | 簡單背景較複雜背景的偵測效果好。其原因是簡單的背景影響偵測的不確定因素較少，如背景顏色和膚色相近時，背景可能也會被偵測到。 |
| 光 線 | 不同方向的光源，會造成偵測效果的不同。 |
| 鏡頭類型 | 頭肩部圖像的效果較半身圖像來得好。如圖 6.5-6.6。 |
| 人臉姿態 | 在初始值未更新中心點和半徑的情況下，有些方向可能會偵測不到。如圖 6.7-6.10。 |
| 人臉數目 | 只利用膚色色彩訊息作為偵測的依據，因此人數並不會造成偵測上的問題。如圖 6.11。 |



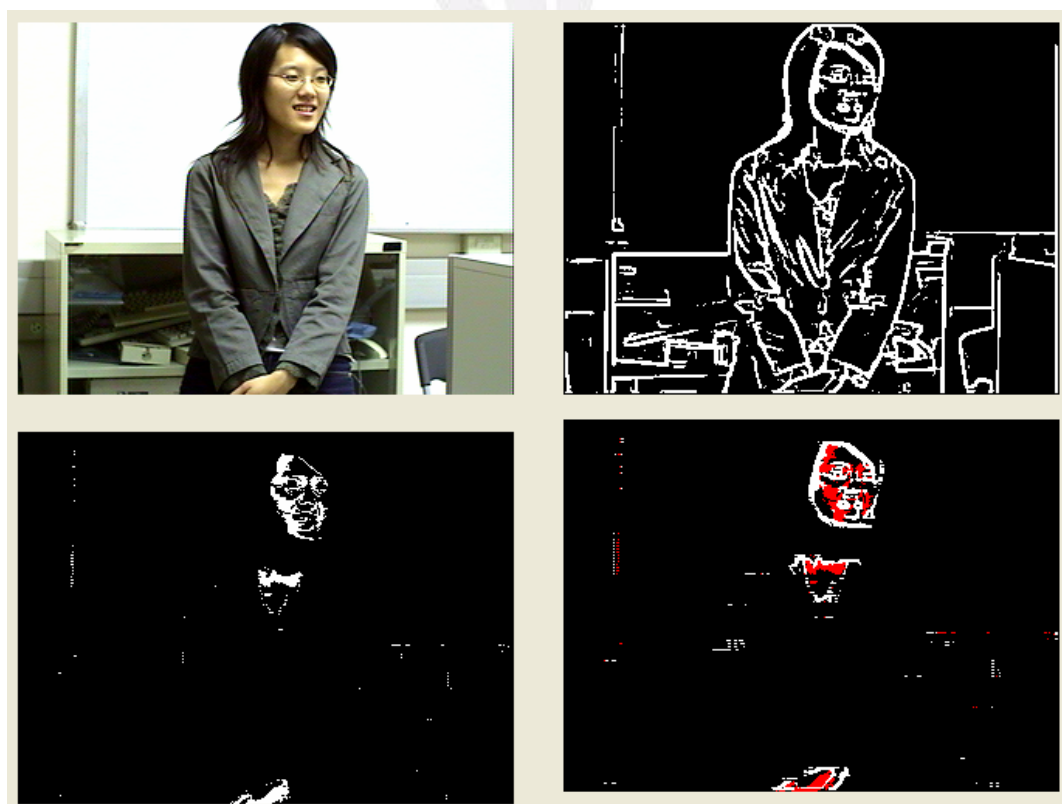
▲圖 6.3 攝影設備(一)



▲圖 6.4 攝影設備(二)



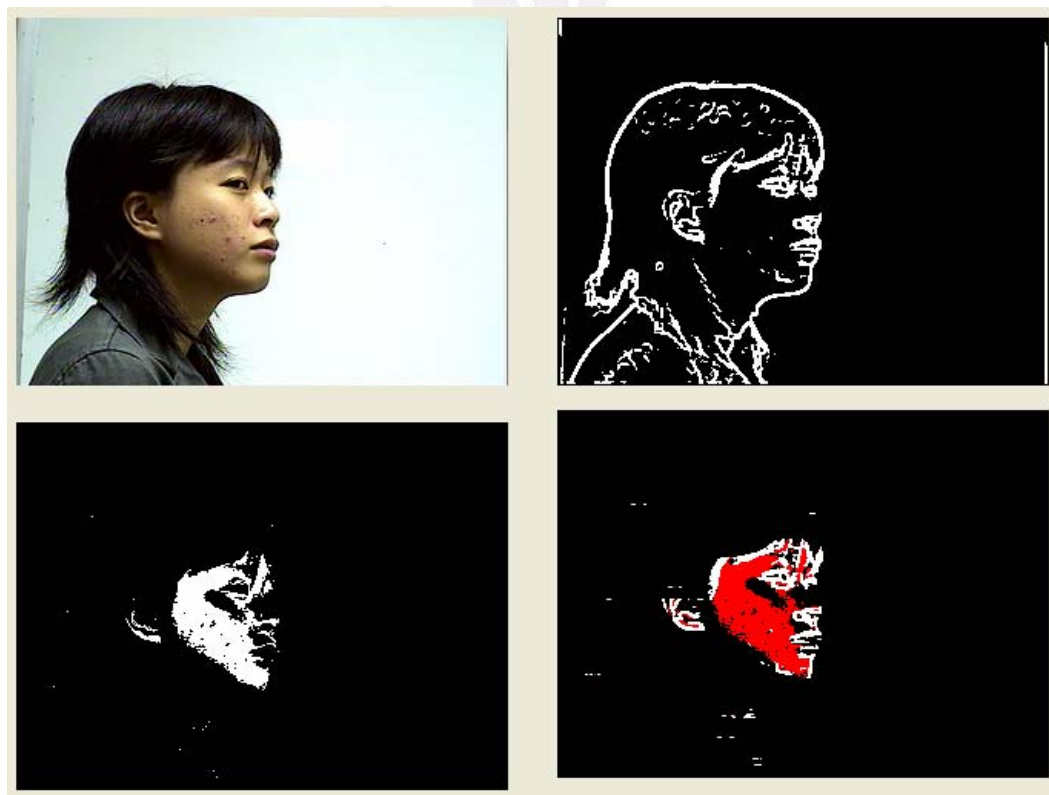
▲圖 6.5 頭肩部位



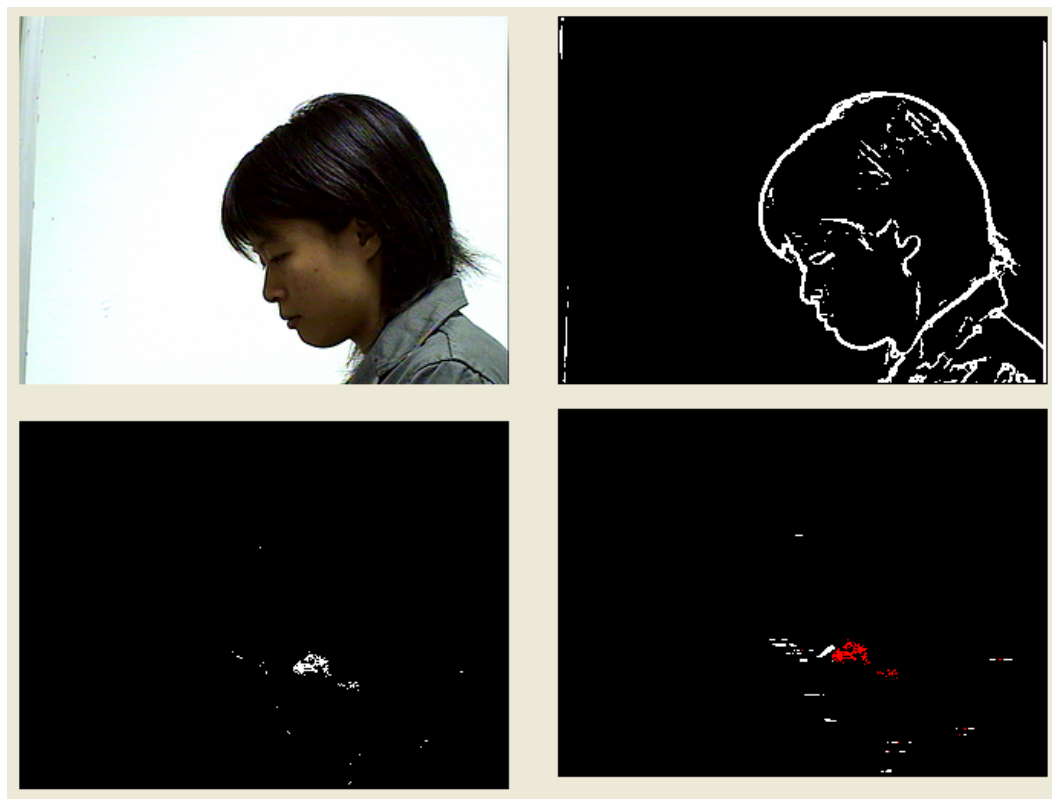
▲圖 6.6 半身



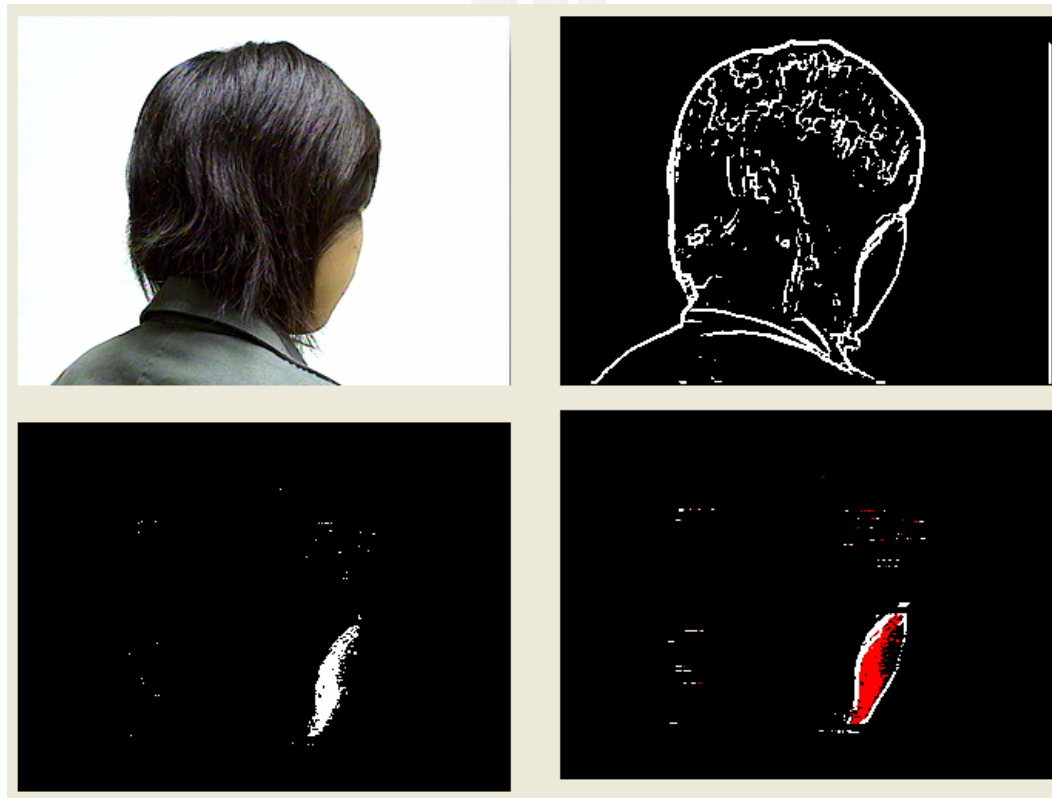
▲圖 6.7 仰角



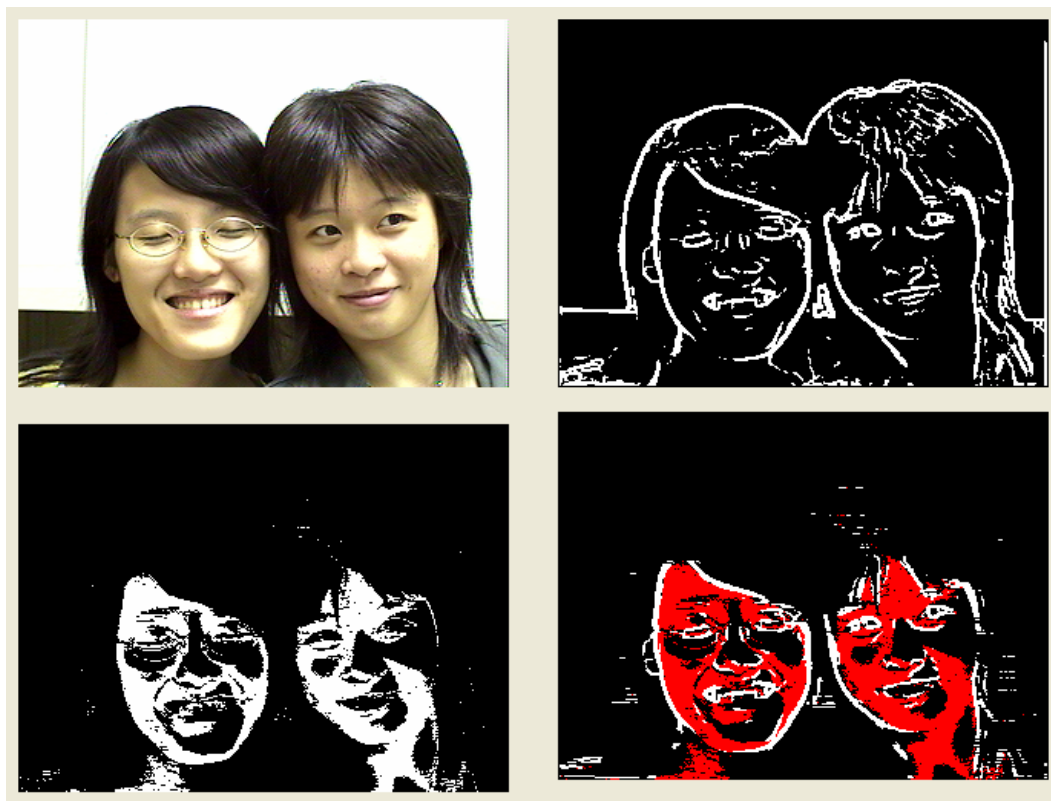
▲圖 6.8 側面



▲圖 6.9 側面



▲圖 6.10 背面



▲圖 6.11 人臉數數目為複數



▲圖 6.12 人臉重疊

6.3 討論

本文所利用的人臉偵測方法還有許多的問題和改善空間。影響偵測結果除了外在因素攝影設備外，最大影響因素就是光線。當光線不均勻時，偵測效果較差，其原因是臉部陰影和光照處的色彩資訊有所不同。因此，不論正面或側面偵測上效果有所差異時，其主要原因是因為光的分佈均勻與否，而頭肩部圖像和半身/全身圖像也可以就此說明。

6.4 改善空間

本文中所介紹的人臉偵測，因為人臉演算法有限並只利用到人臉 color-based 的特性，但因未利用臉部特徵，因此還有許多問題和待改進的地方，以下是就問題和解決方法：

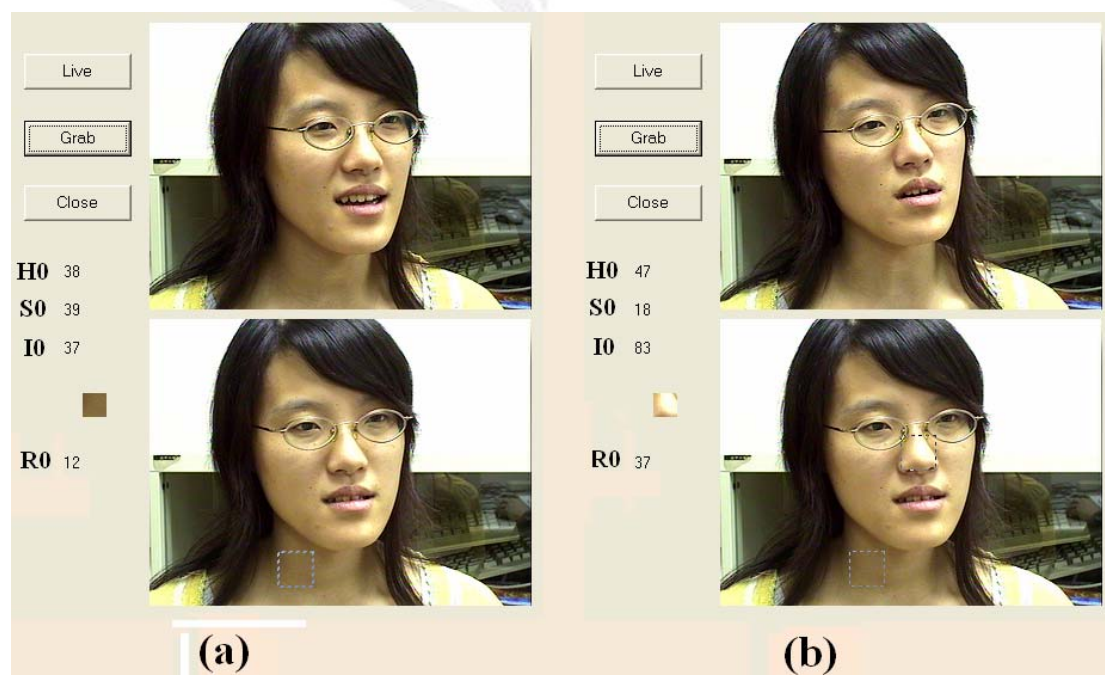
(1) 未利用臉部特徵

- 臉型(橢圓形)：可避免脖子和四肢膚色部分被偵測到問題，但側面偵測可能會有問題。
- 五官的幾何圖形(三角形)：可解決正面、側面，臉部旋轉各方向的問題，但運算上較為複雜。

(2) 手動設定測量物取樣範圍

一因點選範圍不同造成偵測差異：因為手動點選可能因人為因素點而得到不同的中心點(H_0, S_0, I_0)和半徑 R_0 。如圖 6.13。若點選膚色較均勻處其 R_0 太小，可能會造成偵測到的膚色區塊不完整性；點選膚色差異度較大處其 R_0 太大，背景近膚色訊息部分又會被偵測出來。進而影響偵測的結果。

一未完全自動化：需要手動設定範圍，在應用上較不實際。解決方法利用適應性回傳參數值(T_H 、 T_L 、 H_0 、 S_0 、 I_0 、 R_0)，系統自動計算中心點和半徑，算出環境整體光線強弱、差異度，自動計算出 T_H 、 T_L 和 H_0 、 S_0 、 I_0 、 R_0 的值回傳給系統使用。



▲圖 6.13 (a)點選位置一 (b)點選位置二

6.5 未來發展

越來越發達的時代中，通訊佔人類的重要性越來越大，不只是網際網路普遍化，多媒體的應用也與人們的生活幾乎已經結合在一起了。犯罪手法也因為科技的進步而越來越防不勝防，因此監視系統不能只靠錄影以及人工辨識來達到防止犯罪。經過這次實驗讓我們發覺到，不同的演算法、偵測條件的多寡會大大影響到偵測效果。

因此，我們將朝著利用更多的人臉特徵，例如：人臉約略呈橢圓形、眼睛與嘴唇略呈等腰三角形等。或是讓系統自行偵測環境，取得所需的參數，減少人工部分讓系統更為自動化。更進一步，希望能夠達到人臉追蹤，將追蹤到的人臉資訊能夠加以放大、解析或作到更多的處理。最後，基於這些種種開發研究也是學生未來想達到的目標與期望。

附 錄

程式 *Canny edge detection*

```
/**
//*****
// Dilation (擴散)
//*****
int findmaximum(unsigned char *in)
{
    int i,j,s,t;
    for (i=-1;i<=1;i++) {
        for (j=-1;j<=1;j++) {
            if (i== -1 && j== -1)
                s = (*(in+i*Im_Width+j));
            else {
                t = (*(in+i*Im_Width+j));
                if (t>s)
                    s = t;
            }
        }
    }
    return (s);
}
//*****
// Erosion (浸蝕)
//*****
int findminimum(unsigned char *in)
{
    int i,j,s,t;
    for (i=-1;i<=1;i++) {
        for (j=-1;j<=1;j++) {
            if (i== -1 && j== -1)
                s = (*(in+i*Im_Width+j));
            else {
                t = (*(in+i*Im_Width+j));
                if (t<s)    s = t;
            }
        }
    }
    return (s);
}
}
```

```

//*****
// Morphology Smoothing
//*****
void Morphology(unsigned char *org,unsigned char *postSmoothing)
{
    int i,j;
    unsigned char a[Im_Height*Im_Width];
    unsigned char b[Im_Height*Im_Width];
    unsigned char c[Im_Height*Im_Width];
    //-----
    // Opening
    //-----
    // ----- Erosion -----
    for (i=0;i<Im_Height;i++)
    {
        for (j=0;j<Im_Width;j++)
        {
            if (i==0||i==(Im_Height-1)||j==0||j==(Im_Width-1))
                *(a+i*Im_Width+j) = *(org+i*Im_Width+j);
            else
                *(a+i*Im_Width+j) = findminimum(org+i*Im_Width+j);
        }
    }
    //----- Dilation -----
    for (i=0;i<Im_Height;i++)
    {
        for (j=0;j<Im_Width;j++)
        {
            if (i==0||i==(Im_Height-1)||j==0||j==(Im_Width-1))
                *(b+i*Im_Width+j) = *(a+i*Im_Width+j);
            else
                *(b+i*Im_Width+j) = findmaximum(a+i*Im_Width+j);
        }
    }

    //-----
    // Closing
    //-----

```

```

//----- Dilation -----
for (i=0;i<Im_Height;i++)
{
    for (j=0;j<Im_Width;j++)
    {
        if (i==0||i==(Im_Height-1)||j==0||j==(Im_Width-1))
            *(c+i*Im_Width+j) = *(b+i*Im_Width+j);
        else
            *(c+i*Im_Width+j) = findmaximum(b+i*Im_Width+j);
    }
}

// ----- Erosion -----
for (i=0;i<Im_Height;i++)
{
    for (j=0;j<Im_Width;j++)
    {
        if (i==0||i==(Im_Height-1)||j==0||j==(Im_Width-1))
            *(postSmoothing+i*Im_Width+j) = *(c+i*Im_Width+j);
        else
            *(postSmoothing+i*Im_Width+j) = findminimum(c+i*Im_Width+j);
    }
}
}

//*****
// Canny
//*****

void Canny(unsigned char *Gaussian, unsigned char *postCanny)
{
    int GX[3][3], GY[3][3];
    int sumX, sumY, SUM;
    int r,c, i, j;
    double        ORIENT;
    int           edgeDirection;
    int           HighThreshold, lowThreshold;
    int           leftPixel, rightPixel;
    int           P1, P2, P3, P4, P5, P6, P7, P8;
}

```

```
//-----  
// 計算其梯度大小和方向  
//-----  
//---- 3x3 GX Sobel mask ----  
GX[0][0] = -1; GX[0][1] = 0; GX[0][2] = 1;  
GX[1][0] = -2; GX[1][1] = 0; GX[1][2] = 2;  
GX[2][0] = -1; GX[2][1] = 0; GX[2][2] = 1;  
//---- 3x3 GY Sobel mask ----  
GY[0][0] = 1; GY[0][1] = 2; GY[0][2] = 1;  
GY[1][0] = 0; GY[1][1] = 0; GY[1][2] = 0;  
GY[2][0] = -1; GY[2][1] = -2; GY[2][2] = -1;  
//---- 對 x 和 y 方向作梯度運算 ----  
for(r=0; r<=(Im_Height-1); r++) {  
    for(c=0; c<=(Im_Width-1); c++) {  
        sumX = 0;  
        sumY = 0;  
        if(r==0 || r==Im_Height-1)  
            SUM = 0;  
        else if(c==0 || c==Im_Width-1)  
            SUM = 0;  
        else {  
            for(i=-1; i<=1; i++) {  
                for(j=-1; j<=1; j++) {  
                    sumX = sumX+(int)(Gaussian[(r+i)*Im_Width+c+j] * GX[i+1][j+1]);  
                }  
            }  
            for(i=-1; i<=1; i++) {  
                for(j=-1; j<=1; j++) {  
                    sumY = sumY+(int)(Gaussian[(r+i)*Im_Width+c+j]* GY[i+1][j+1]);  
                }  
            }  
//---- 計算梯度大小 ----  
SUM = abs(sumX) + abs(sumY);  
if(SUM>255) SUM=255;  
if(SUM<0) SUM=0;  
        }  
    }  
}
```

```
//---- 計算梯度向量方向(角度:0~360 度) -----
if(sumX == 0) {
    if(sumY ==0)
        ORIENT = 0.0;
    else if (sumY<0) {
        sumY = -sumY;
        ORIENT = 90.0; }
    else
        ORIENT = 90.0; }
else if(sumX<0 && sumY>0) {
    sumX = -sumX;
    ORIENT = 180 - ((atan((float)(sumY)/(float)(sumX))) * (180/M_PI)); }
else if(sumX>0 && sumY<0) {
    sumY = -sumY;
    ORIENT = 180 - ((atan((float)(sumY)/(float)(sumX))) * (180/M_PI)); }
else
    ORIENT = (atan((float)(sumY)/(float)(sumX))) * (180/M_PI);

//-----
// Step Three
//-----
// 將梯度向量分為八個區域
if (ORIENT < 22.5) edgeDirection = 0;
else if (ORIENT < 67.5) edgeDirection = 45;
else if (ORIENT < 112.5) edgeDirection = 90;
else if (ORIENT < 157.5) edgeDirection = 135;
else
    edgeDirection = 0;

if(edgeDirection == 0) {
    leftPixel = (int)(Gaussian[r*Im_Width + c - 1]);
    rightPixel = (int)(Gaussian[r*Im_Width + c + 1]); }
else if(edgeDirection == 45){
    leftPixel = (int)(Gaussian[(r+1)*Im_Width + c - 1]);
    rightPixel = (int)(Gaussian[(r-1)*Im_Width + c + 1]); }
else if(edgeDirection == 90) {
    leftPixel = (int)(Gaussian[(r-1)*Im_Width + c]);
    rightPixel = (int)(Gaussian[(r+1)*Im_Width + c]); }
```

```

else {
    leftPixel = (int)(Gaussian[(r-1)*Im_Width+c-1]);
    rightPixel = (int)(Gaussian[(r+1)*Im_Width+c+1]); }

if(SUM < leftPixel || SUM < rightPixel)
    SUM = 0;

//-----
// Step Four
//-----

else {
    HighThreshold = 70;
    lowThreshold = 0;
    //----- 梯度大小 > TH , 判斷為邊界 -----
    if(SUM >= HighThreshold)
        SUM = 255;
    //----- 梯度大小 < TL , 判斷為非邊界 -----
    else if(SUM <= lowThreshold)
        SUM = 0;
    //----- 梯度介於 TH 和 TL 之間 , 判別鄰近點是否為邊界 -----
    else {
        P1 = (int)(Gaussian[(r-1)*Im_Width+c-1 ]);
        P2 = (int)(Gaussian[(r-1)*Im_Width+c  ]);
        P3 = (int)(Gaussian[(r-1)*Im_Width+c+1]);
        P4 = (int)(Gaussian[(r  )*Im_Width+c-1 ]);
        P5 = (int)(Gaussian[(r  )*Im_Width+c+1]);
        P6 = (int)(Gaussian[(r+1)*Im_Width+c-1]);
        P7 = (int)(Gaussian[(r+1)*Im_Width+c  ]);
        P8 = (int)(Gaussian[(r+1)*Im_Width+c+1]);

        if (P1 > HighThreshold || P2 > HighThreshold || P3 > HighThreshold ||
P4 > HighThreshold || P5 > HighThreshold || P6 > HighThreshold ||
P7 > HighThreshold || P8 > HighThreshold)
            SUM = 255;
        else
            SUM = 0; }}
    postCanny[r*Im_Width+c] = (unsigned char)(SUM); }}
}

```

程式 *color information detection*

```
/**
// color information 偵測
**/
void HSI_processing (unsigned char *in , unsigned char *postHSI)
{
    int i,j;
    int P,sum,ans,m;
int R,G,B,H,S,I;
    float x,y,z,sita;

    for (i=0;i<Im_Height;i++)
    {
        for (j=0;j<Im_Width;j++)
        {
            P = i*Im_Width+j;
            B = *(in+3*P );
            G = *(in+3*P+1);
            R = *(in+3*P+2);

            sum = R+G+B;
            //-----
            // 計算 H 值
            //-----
            x = 0.5*((R-G)+(R-B));
            y = sqrt((R-G)*(R-G)+(R-B)*(G-B));
            if (y==0)
                z = 0;
            else
                z = x/y;

            sita = (acos(z)*360)/(2*M_PI);

            if (G>B)
                H = (int) (sita);
            else
                H = (int) (360-sita);
        }
    }
}
```

```

//-----
// 計算 S 值
//-----
if (sum==0)
    S = 100;
else {
    m = findmin(R,G,B);
    S = (100-(3*m*100)/sum); }
//-----

// 計算 I 值
//-----
I = (sum*100)/(3*255);
//-----

ans = in_or_out (H,S,I);
if (ans==0) postHSI [P] = 0;
else      postHSI [P] = 255;
}
}
}

/*****
// 中心點(H0,S0,I0) , 半徑為 R0 所形成的球體
// 包含在球內的判別為皮膚 ; 其他判別為非皮膚
// 判別是否為膚色
*****/
int in_or_out (int H , int S , int I)
{
    int x,y;
    float ans;

    x = get_RH (H0 , H);
    y = x*100/180;
    ans = sqrt(y*y+(S-S0)*(S-S0)+(I-I0)*(I-I0));

    if (ans > R0) return 0;
    else      return 1;
}

```

```
/**
// 算H和H0的夾角(0~180度)
/**
int get_RH(int a, int b)
{
    int x=0, y, c;
    if(a<180) {
        c = a+180;
        if(b >= c) {
            y = 360-b+a;
            if(y > x)
                x = y; }
        else {
            if(b > a) {
                y = b-a;
                if(y > x)
                    x = y; }
            else {
                y = a-b;
                if(y > x)
                    x = y; }}}
    else {
        c = a-180;
        if(b >= a) {
            y = b-a;
            if(y > x)
                x = y; }
        else {
            if(b >= c) {
                y = a-b;
                if(y > x)
                    x = y; }
            else {
                y = 360-a+b;
                if(y > x)
                    x = y;
                }}}
    }
}
```



程式 計算中心點(H0,S0,I0)和球半徑 R0

```
/**
// 計算中心點(H0,S0,I0)和球半徑 R0
**/
void __fastcall TForm1::Form1_Im2MouseUp(TObject *Sender,
    TMouseButton Button, TShiftState Shift, int X, int Y)
{
    int P,i,j,sum,m,H1,H2;
    int R, G, B, R_H, R_S, R_I, R0;
    float x,y,z,sita;
    unsigned char H[C_Height*C_Width];
    unsigned char S[C_Height*C_Width];
    unsigned char I[C_Height*C_Width];
    //-----
    // RGB color mode 轉換成 HSI color mode
    //-----
    for (j=0;j<C_Height;j++)
    {
        for (i=0;i<C_Width;i++)
        {
            P = (j*C_Width)+i;
            TCColor c = Form1_Im3->Canvas->Pixels[i][j];
            B = (int)c.Blue;
            G = (int)c.Green;
            R = (int)c.Red;
            sum = R+G+B;
            //---- 計算H值 -----
            x = 0.5*((R-G)+(R-B));
            y = sqrt((R-G)*(R-G)+(R-B)*(G-B));
            if(y==0)    z = 0;
            else        z = x/y;
            sita = (acos(z)*360)/(2*M_PI);
            if (G>B)
                H[P] = (int)(sita);
            else
                H[P] = (int)(360-sita);
        }
    }
}
```

```

//----- 計算 S 值-----
if(sum==0) S[P] = 0;
else
{
    m = findmin(R,G,B);
    S[P] = (100-(3*m*100)/sum);
}
//----- 計算 I 值 -----
I[P] = (sum*100)/(3*255);
}
}
//-----
bubble_sort (S);
bubble_sort (I);
//-----
// 計算 H0 和 R_H 之值
//-----
//----- 計算 H0 -----
x = 0; y = 0; sum = 0;
for (i=0;i<C_Size;i++)
{
    H1 = H[i];
    H2 = new_sita(H1);
    sum += H2;
    if(H1>180) x++;
    else y++;
}
H0 = (int)(sum/C_Size);
if (x>y) H0 = 360-H0;
else H0 = H0;
//----- 計算 R_H -----
x = 0;
for(i=0;i<C_Size;i++)
{
    H1 = H[i];
    y = get_RH(H0,H1);
}
R_H = x*100/180;

```

```
//-----  
// 計算 S0 和 R_S 的值  
//-----  
//---- 計算 S0 ----  
sum = 0;  
for(i=0;i<C_Size;i++) {  
    sum += S[i];  
}  
S0 = (int)(sum/C_Size);  
//---- 計算 R_S ----  
x = S0-S[10];  
y = S[C_Size-11]-S0;  
if (x>y) R_S = x;  
else R_S = y;  
//-----  
// 計算 I0 和 R_I 的值  
//-----  
//---- 計算 I0 ----  
sum = 0;  
for(i=0;i<C_Size;i++) {  
    sum += I[i];  
}  
I0 = (int)(sum/C_Size);  
//---- 計算 R_I ----  
x = I0-I[10];  
y = I[C_Size-11]-I0;  
if (x>y) R_I = x;  
else R_I = y;  
//-----  
// 計算 R0 的值  
//-----  
R0 = (int)(sqrt((R_H)*(R_H)+(R_S)*(R_S)+(R_I)*(R_I)));  
//-----  
Label1->Caption = H0;  
Label2->Caption = S0;  
Label3->Caption = I0;  
Label4->Caption = R0;  
}
```

參 考 文 獻

◎文章資料

- [1] **Four Approaches to Face Detection** 陳必衷 pp1.
- [2] **利用三維形態分析診斷肺臟腫瘤之系統** 葉嘉芬 pp26.
- [3] **以邊為基礎之衛星影像中的車輛偵測** 王彥棋(國立中央大學
資訊工程研究所碩士論文)
- [4] **視訊監控系統之物件抽取研究** 李俊儀 (國立雲林科技大學
電機工程系碩士論文)
- [5] **文字辨識論文研討 第二章** pp13. (國立嘉義大學資訊工程所
洪燕竹)
- [6] **Introduction to Digital Image Processing with MATLAB**
pp234~277.
- [7] [http://www.me.ncu.edu.tw/teacher/Subject/B91_2/A/ME564/
Ch_5.doc](http://www.me.ncu.edu.tw/teacher/Subject/B91_2/A/ME564/Ch_5.doc)
- [8] <http://www.cee.hw.ac.uk/hipr/html/sobel.html>
- [9] **CCIR, Encoding parameters of digital television for studios,**
CCIR Recommendation 601- 2, Int. Radio Consult.Committee,
Geneva, Swizerland,1990.

- [10] Crowley, J. L. and Coutaz, J., “Vision for Man Machine Interaction,” *Robotics and Autonomous Systems*, Vol. 19, pp. 347-358 (1997).
- [11] Cahil, D. and Ngan, K. N., “Face Segmentation Using Skin-Color Map in Videophone Applications,” *IEEE Transaction on Circuit and Systems for Video Technology*, Vol. 9, pp. 551-564 (1999).
- [12] Kjeldsen, R. and Kender, J., “Finding Skin in Color Images,” *Proceedings of the Second International Conference on Automatic Face and Gesture Recognition*, pp. 312-317 (1996).
- [13] <http://www.cse.iitk.ac.in/users/pg/>
- [14] Cai, J., Goshtasby, A. and Yu, C., “Detecting Human Faces in Color Images,” *Proceedings of International Workshop on Multi-Media Database Management Systems*, pp. 124-131 (1998).
- [15] Yang, J., Lu, W. and Waibel A., “Skin Color Modeling and Adaptation,” (CMUCS-97-146,) CS Department, CMU, PA,U.S.A. (1997).
- [16] Yang, M. H. and Ahuja, N., “Detecting Human Faces in Color Images”, *Proceedings of IEEE International Conference on Image Processing*, Vol.1, pp. 127-130 (1998).

- [17] Yang, M. H., Kriegman, J. and Ahuja, N., "Detecting Faces in Images: A Survey," IEEE Transaction on Pattern Analysis and Machine Intelligence, Vol. 24, pp. 34-58 (2002).
- [18] http://www.csie.fju.edu.tw/~jykuo/semi/Face_Detection_Report.ppt
- [19] http://content.edu.tw/junior/computer/tp_ct/ch06/ch6-1/graph27.htm
- [20] <http://andrew.csie.ncyu.edu.tw/DOC2/文字辨識.pdf>
- [21] A Robust Skin Color Based Face Detection Algorithm Sanjay Kr. Singh¹, D. S. Chauhan², Mayank Vatsa³, Richa Singh^{3*}
- [22] 數位影像處理，原著(Digital Imaging Processing, by R. C. Gonzalez and E. Woods)，繆紹綱編譯，2003年，高立圖書公司。
- [23] 利用環場及 PTZ 攝影機建構室內環境監控系統作臉部辨識
陳志銘 (國立中央大學資訊工程研究所碩士論文)

◎表格參考

▼表一：人臉檢測研究綜述梁路宏 艾海舟 徐光佑 張鈹 pp2.

(清華大學電腦系，智慧技術與系統國家重點實驗室，北京)

◎圖片來源

▲圖 3.1 : http://www.me.ncu.edu.tw/teacher/Subject/B91_2/A/ME564/Ch_5.doc

▲圖 3.2~3.4 : Introduction to Digital Image Processing with Matlab pp237、243.

▲圖 3.5 : <http://nmlab.cs.nchu.edu.tw/index.php?blogid=1&archive=2004-05> (國立中興大學資訊科學系-網路多媒體實驗室 嚴志軒)

▲圖 3.6 ~3.9 : <http://www.me.lhu.edu.tw/~tin/PPT/4-Grayscale/43-GrayMorphology.files/frame.htm>

▲圖 4.1、4.5、4.6 : A Robust Skin Color Based Face Detection Algorithm Sanjay Kr. Singh¹, D. S. Chauhan², Mayank Vatsa³, Richa Singh^{3*}

▲圖 4.2 : <http://neural.ee.ncku.edu.tw/Links/MTable/Course/Image/Chapter06-Art.pdf>